

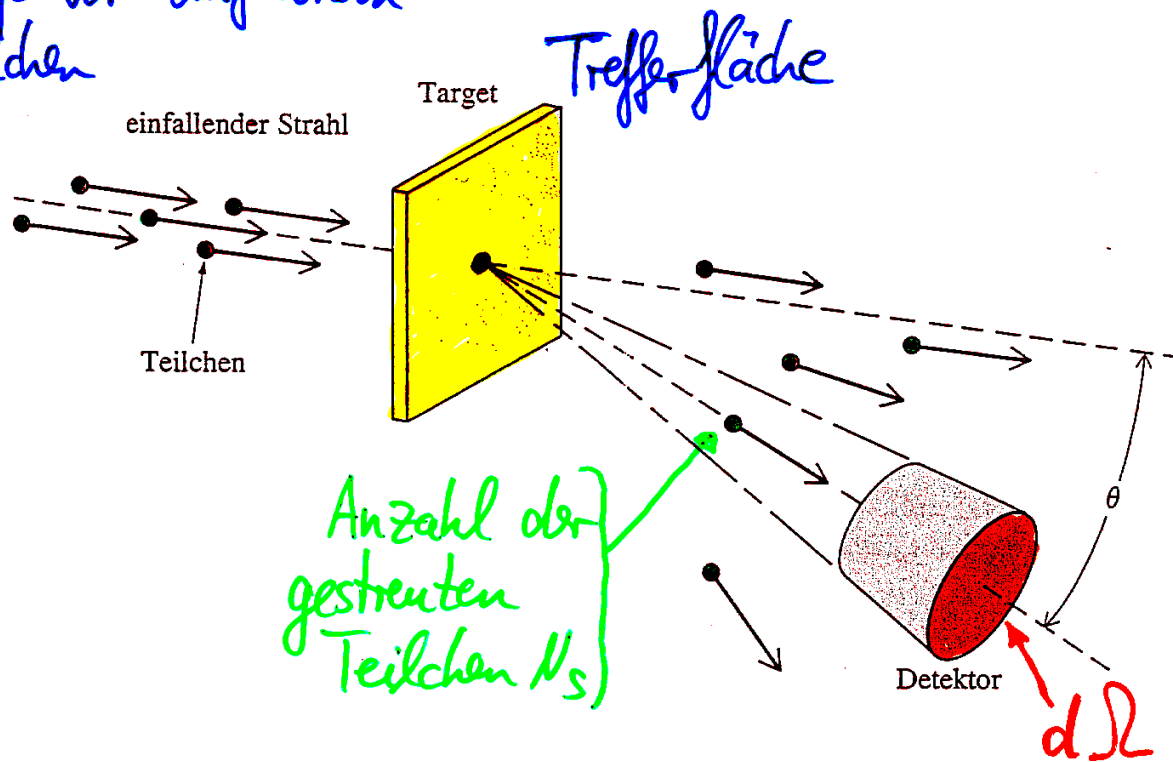
## 2. Beschleuniger und Detektoren

Quellen für Teilchenstrahlen

- Radioaktivität (natürl. ~)
  - + leicht verfügbar
  - i.a. geringe Intensität
  - geringe Energie (typ.  $\lesssim 1 \text{ MeV}$ )
  - + Teilchenspektrum:  $e^-$ ,  $\alpha$ ,  $\mu$ ,  $e^+$ ,  $n$ ,  $p$   
z.B.  $^{137}\text{Cs}$ ,  $^{228}\text{Th}$ ,  $^{60}\text{Co}$ ,  $^{22}\text{Na}$ ,  $\alpha + ^9\text{Be} \rightarrow ^{10}\text{C} + n$
- Hohenstrahlung (kosmische ~)
  - + leicht verfügbar
  - + hohe Energien möglich ( $> 1000 \text{ GeV}$ )
  - geringe Intensität bei hohen Energien
  - Teilchenspektrum zu vielfältig ( $H, He, C, Fe, \dots$ )
- Teilchenbeschleuniger
  - + hohe Energien möglich (auch monoenerget. Teilch.)
  - + hohe Intensitäten
  - + Teilchenspektrum  $e^-, e^+, p, \bar{p}$ , Atomkerne bis  $^{238}\text{U}$

# Prinzip eines Experiments mit Teilchenstrahlen

Fluß der einfallenden  
Teilchen



⇒ differenzierbarer Wirkungsquerschnitt:

$$\frac{d\sigma}{d\Omega}(E, \Omega) = \frac{1}{\text{Fluß}} \cdot \frac{dN_s}{d\Omega}$$

Wirkungsquerschnitt:

$$\sigma(E) = \int d\Omega \cdot \frac{d\sigma}{d\Omega}$$

# 3 Schritte eines Beschleuniger-experiments

## (1) Erzeugung der Teilchen

einfach für  $e^-$ ,  $p$ , pos. Ionen

schwieriger für  $e^+$ ,  $\bar{p}$ ,  $\mu^+$ ,  $\mu^-$ ,  $\pi^\pm$ ,  $K^\pm$ , ...

(Erzeugung aus Wechselwirkungen/Stößen)

## (2) Einfangen, Beschleunigung, Kollision

## (3) Nachweis und Vermessung:

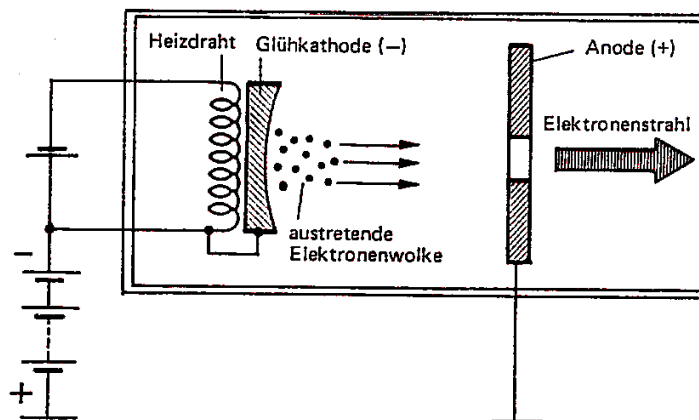
Energie  $E$ , Impulsbetrag  $p$ , Richtung  $\vec{p}$

Identität (z.B. aus  $m^2 c^2 = \frac{E^2}{c^2} - p^2$ )

# Erzeugung von Elektronen und Ionen

## Elektronen:

Bild 1: Erzeugung von Elektronenstrahlen durch Glühkathoden



## pos. Ionen:

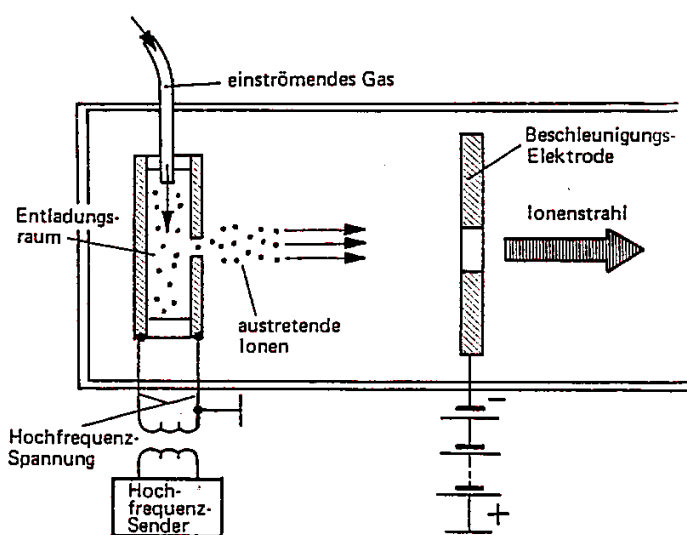


Bild 2: Erzeugung von Protonen- und Schwerionenstrahlen durch Ionenquellen

# Prinzip der Teilchenbeschleunigung

Energiegewinn nach Durchlaufen einer Potentiadiff. U:

$$E = q \cdot U$$

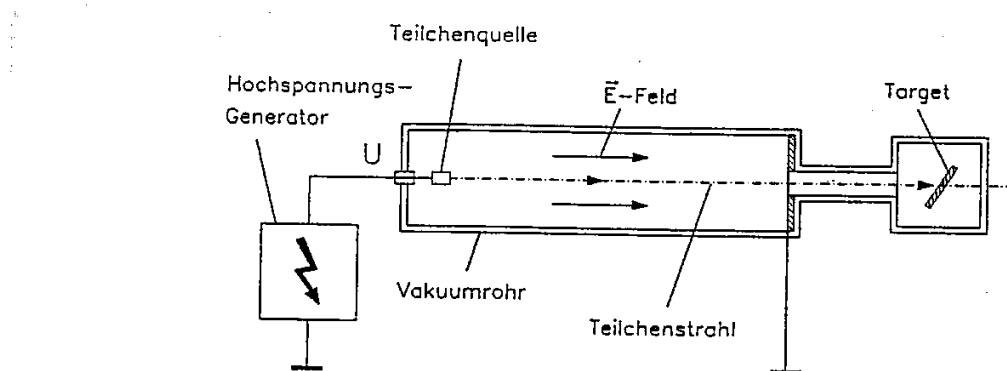


Fig. 1.3 Generelles Prinzip eines elektrostatischen Beschleunigers

Prinzipielle Begrenzung der erreichbaren Energie:

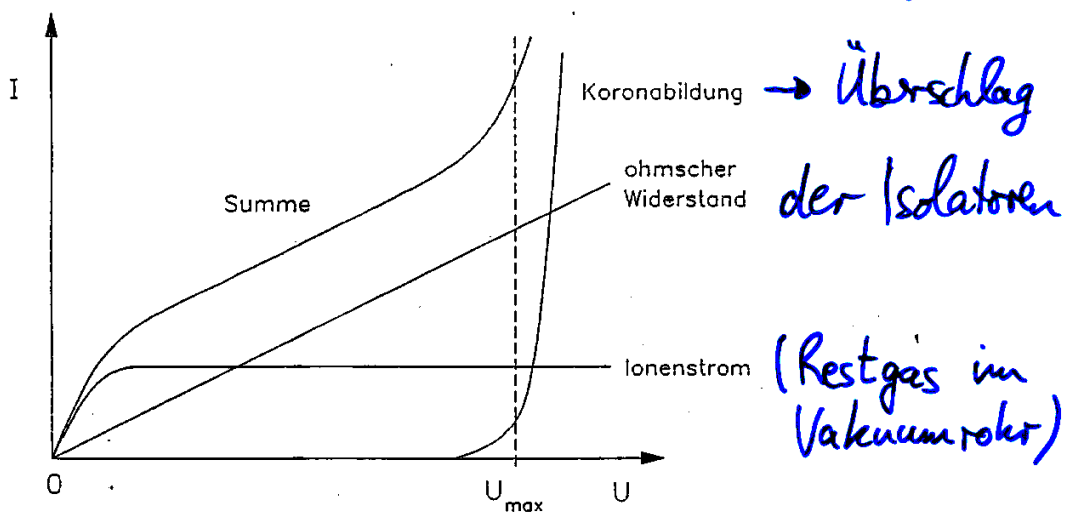


Fig. 1.4 Abhängigkeit des Stromes von der anliegenden Hochspannung bei elektrostatischen Beschleunigern

$$\text{typ. } U_{\max} \approx 10 \text{ MV}$$

# Hochspannungsquellen für Beschleuniger

## Cockcroft - Walton - Kaskade

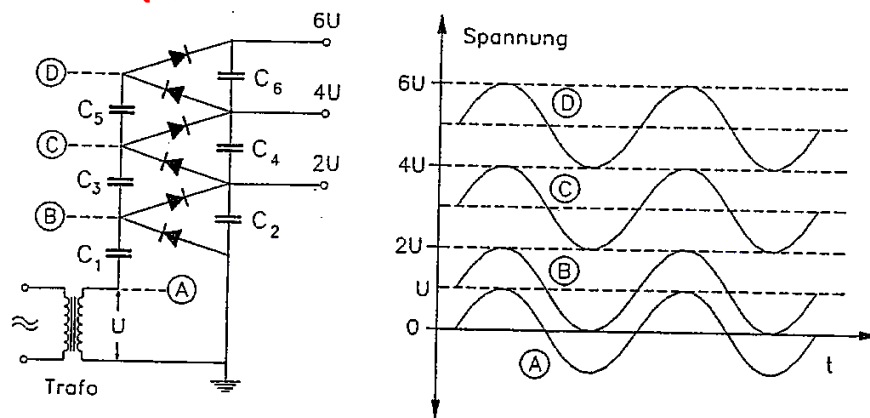


Fig. 1.5 Funktion des Cockcroft-Walton-Kaskadengenerators

Die genauere stromabhängige Spannung der Kaskadenschaltung ergibt sich aus der Beziehung

$$U_{\text{ges}} = 2Un - \frac{2\pi I}{\omega C} \left( \frac{2}{3}n^3 + \frac{1}{4}n^2 + \frac{1}{12}n \right)$$

## Marx - Generator (Stoßspannungs-Generator):

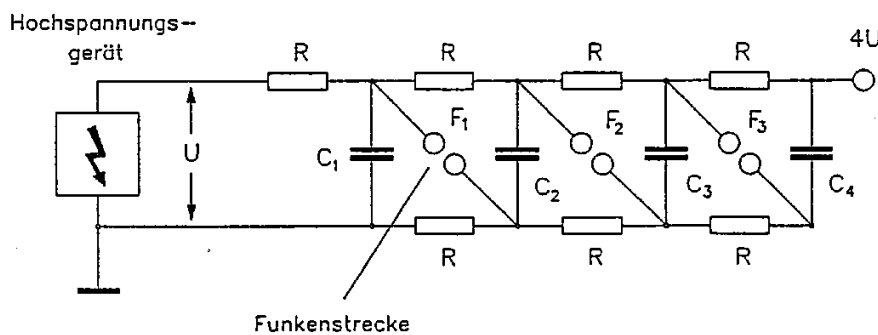
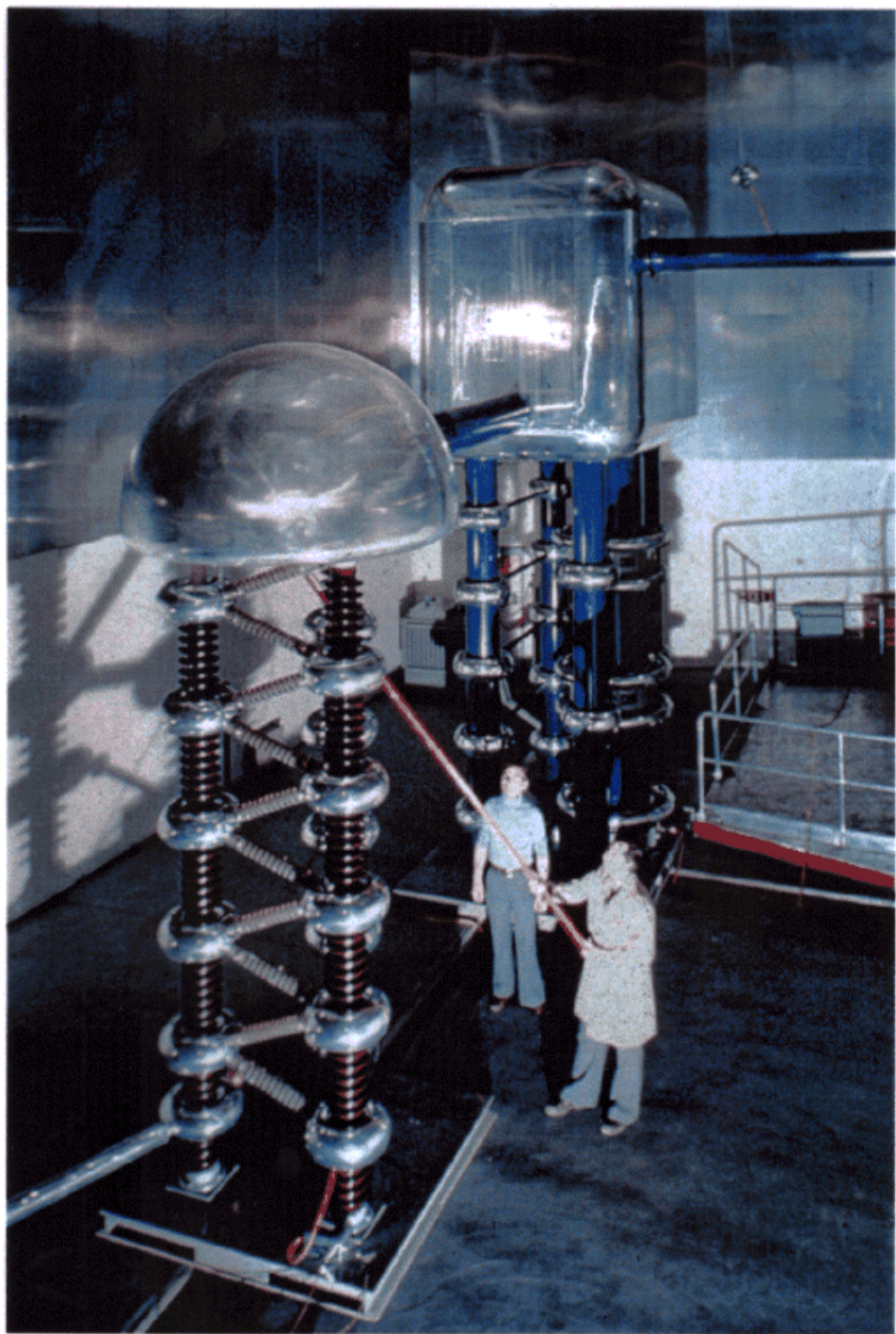


Fig. 1.6 Prinzip des Marx-Generators

Cockcroft-Walton-Kaskade am CERN



# Van de Graaff - Beschleuniger

Direct-voltage accelerators

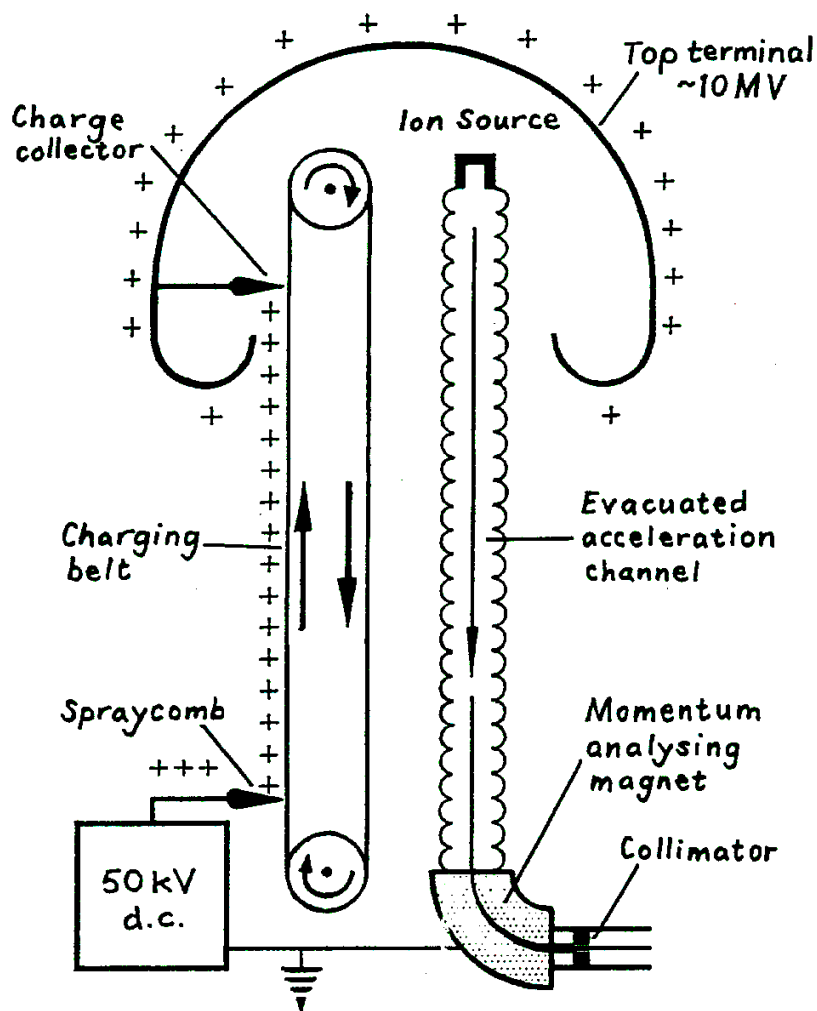


Figure 1.3. Van de Graaff particle accelerator (shown without pressure vessel and insulating support).

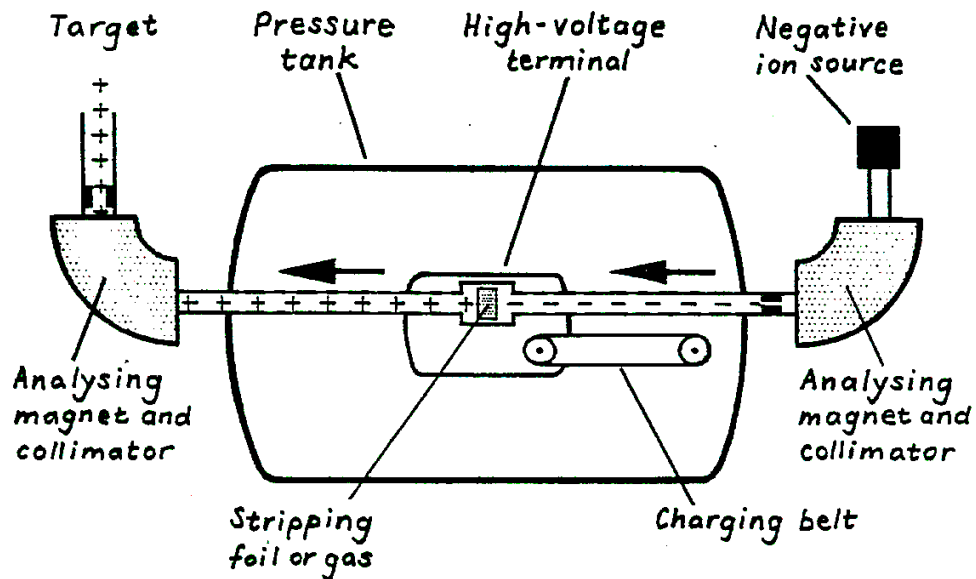


Figure 1.4. Two-stage tandem accelerator.

# Prinzip des Linearbeschleunigers

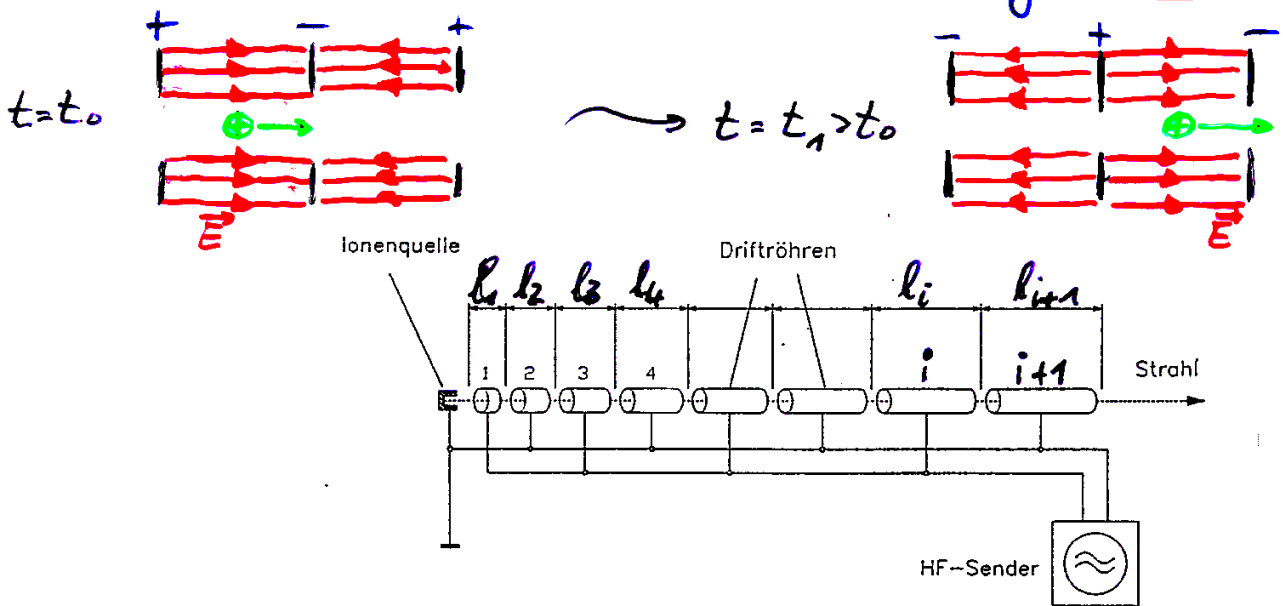
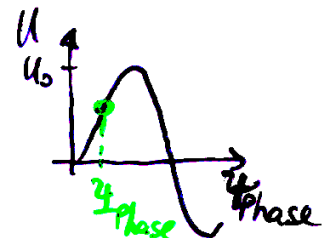


Fig. 1.9 Linearbeschleuniger nach Wiederöe

$$\text{Energie } E_i = i \cdot q \cdot U_0 \sin^2 \varphi_{\text{Phase}} \\ = \frac{1}{2} m v_i^2$$



$$\text{Abstand } (v_i \ll c) \quad l_i = v_i \cdot \frac{\tau_{\text{HF}}}{2} \quad (\tau_{\text{HF}}: \text{Periodendauer}) \\ = \beta_i \frac{\lambda_{\text{HF}}}{2} \quad (\beta_i = v_i/c)$$

$$\Rightarrow l_i = \frac{1}{\nu_{\text{HF}}} \sqrt{\frac{i q U_0 \sin^2 s}{2m}} \sim \sqrt{i}$$

Problem: Zugeführte Energie hängt von  $U_0$  und Sollphase  $\varphi_{\text{Phase}}$  ab  
 (kleine Abweichung  $\rightarrow$  vorgegebene  $l_i$  stimmen nicht mehr)

# Phasenfokussierung

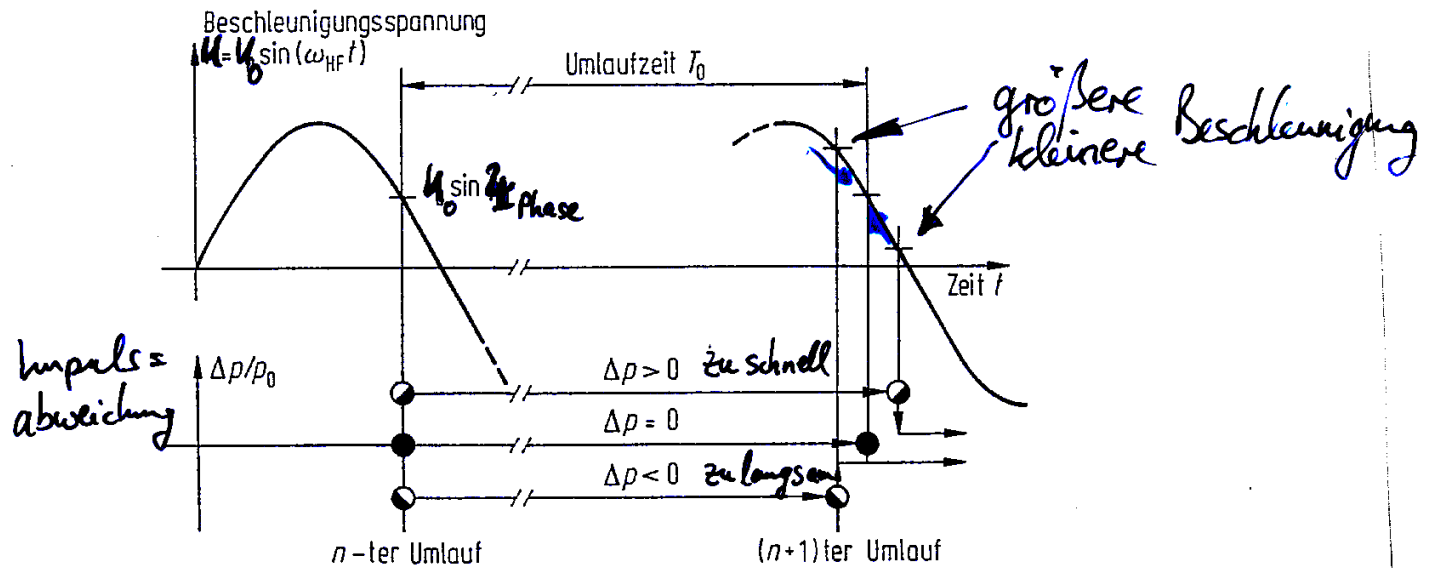


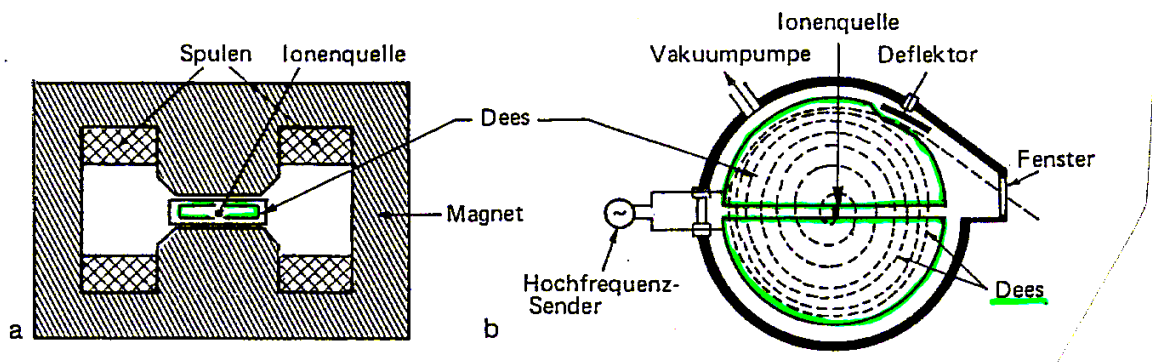
Abb. 3.11 Prinzip der Phasenfokussierung für Teilchen mit  $v \approx c$ . Betrachtet werden drei Teilchen unterschiedlichen Impulses, die beim  $n$ -ten Umlauf die Beschleunigungsstrecke mit der Sollphase durchlaufen. Nur das Referenzteilchen mit Sollimpuls  $p_0$  ( $\Delta p = 0$ ) hat auch bei allen folgenden Umläufen die Sollphase  $\frac{1}{2} \text{Phase}$  (nach Bryant [5]).

⇒ Teilchen pendeln um Sollphase:

Phasenoscillation

# (Synchro-) Zyklotron

Bild 20: Querschnitt durch ein Zyklotron (a) und Draufsicht auf die Beschleunigungskammer mit den „Dees“ (b)



- **Zyklotron ( $B = \text{const.}$ )**

Teilchen mit Geschwindigkeit  $v \ll c$ :

Radius der "Kreisbahn":  $r = \frac{mv}{qB} = \frac{p}{qB}$

Umlaufzeit:

$$T = \frac{2\pi r}{v} = \frac{2\pi m}{qB} + f(v)$$

⇒ Hochfrequenz:  
(Zyklotronfrequenz)

$$v = \frac{qB}{2\pi m}$$

- **Synchrozyklotron ( $B=\text{const.}$ ) ( $v \approx c$ )**

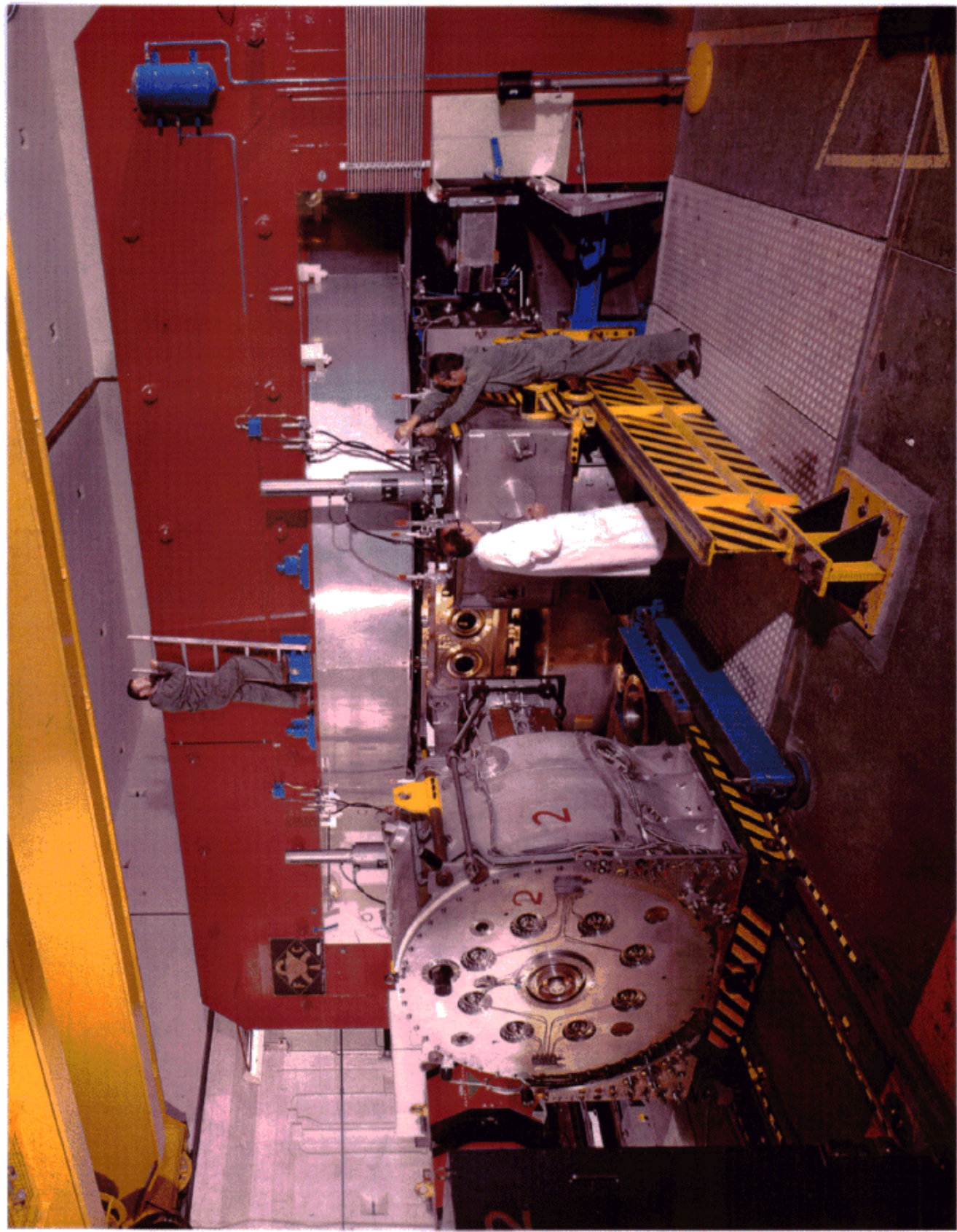
Hochfrequenz

$$v = \frac{qB}{2\pi m} \cdot \gamma \quad \text{wird angepasst}$$

- **Isozyklotron ( $v = \text{const.}$ )**

Magnetfeld wird angepasst  $B = B_0 \cdot \gamma$

# Synchrozyklotron (CERN)



# Betatron

Prinzip: "Transformator" mit Teilchenstrahl als "Sekundärspule"

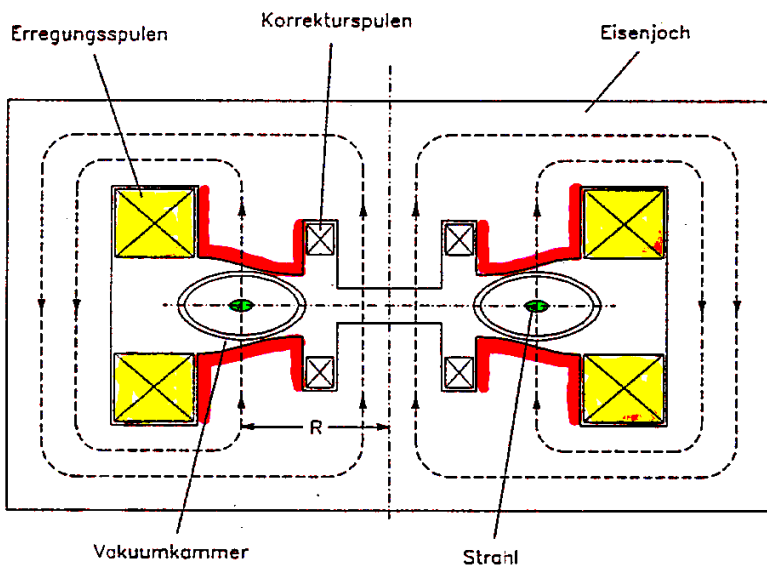
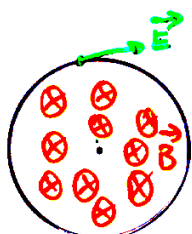


Fig. 1.14 Querschnitt durch ein Betatron. Der Beschleuniger ist rotationssymmetrisch um die senkrechte Achse angeordnet. Der Elektronenstrahl läuft in einer runden Vakuumkammer zwischen den Polen des Wechselstrommagneten.

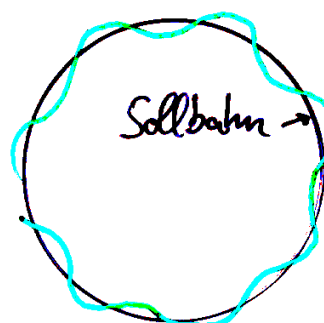
Beschleunigungswirkung durch Induktionsgesetz



$$\oint \vec{E} d\vec{r} = - \frac{\partial}{\partial t} \int_{\text{Fläche}} \vec{B} \cdot d\vec{a}$$

Kreislinie

Teilchenbahn:



pendelt um Sollbahn

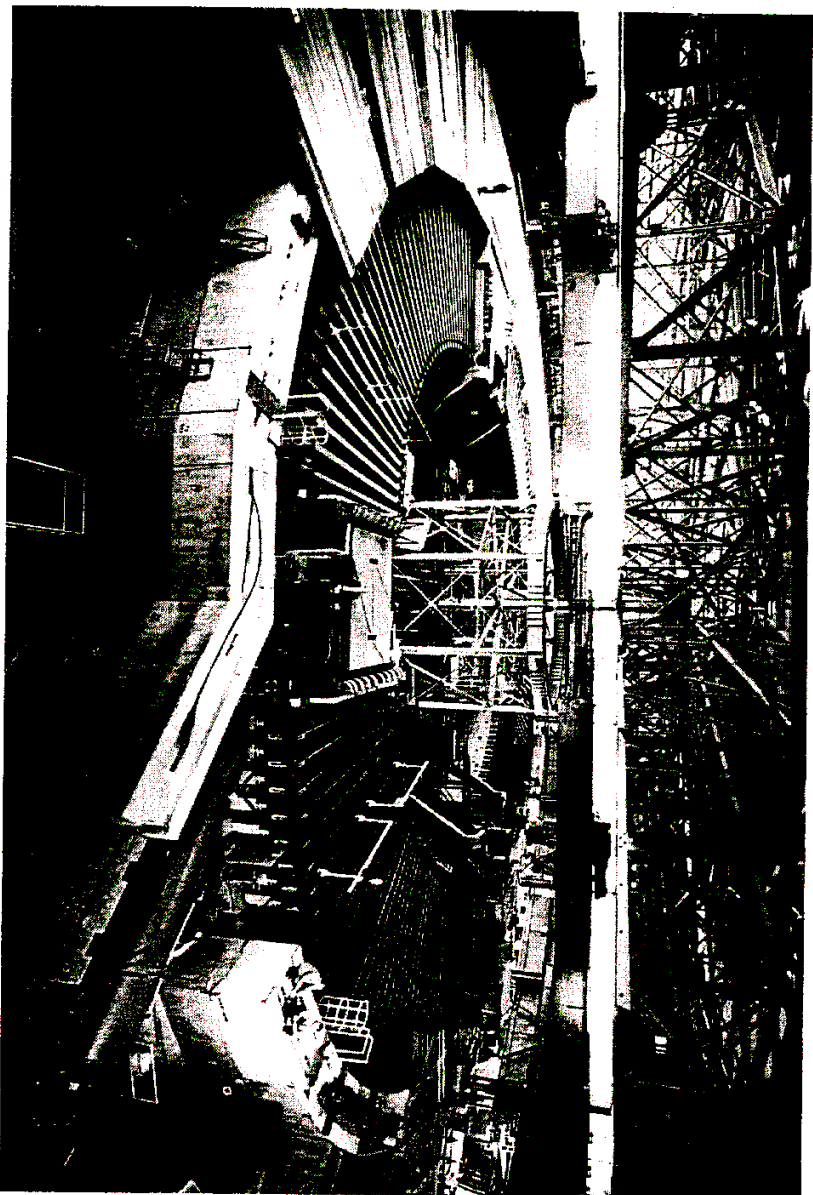
Betatron-Schwingungen

(in Zeichenebene und auch  $\perp$  dazu)

Betatron-Schwingungen in allen heutigen Kreisbeschleunigern

## Das Bevatron (Befatron)

6 GeV Protonenbeschleuniger zur Entdeckung des Antiprotons (1955)



**4.9** Das Bevatron, ein 6 GeV-Beschleuniger, wurde 1954 am Lawrence Berkeley-Laboratorium in Betrieb genommen. Mit diesem Beschleuniger wurde 1955 das Antiproton entdeckt; er war 1989 immer noch in Betrieb.

# Synchrotron-Beschleuniger

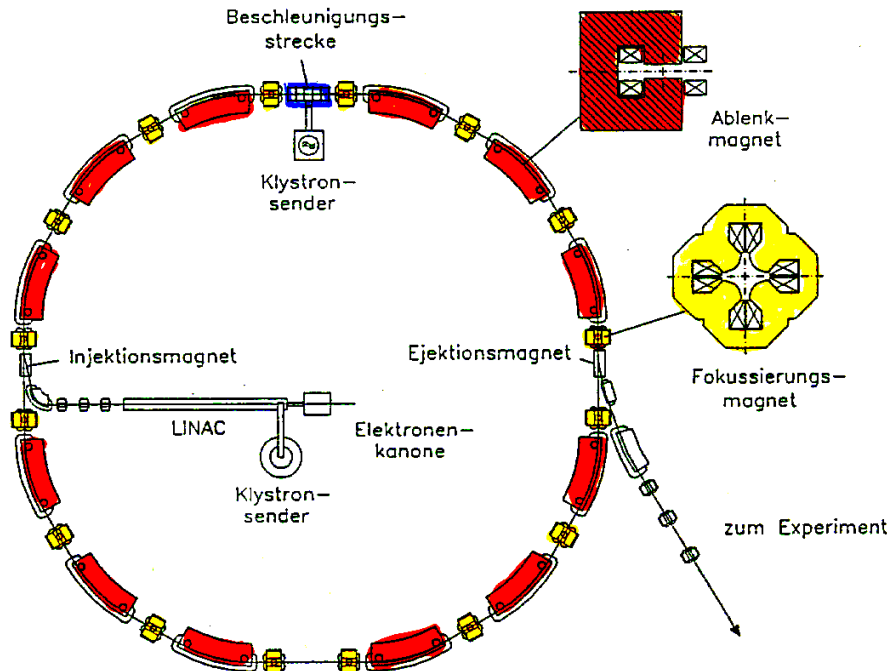
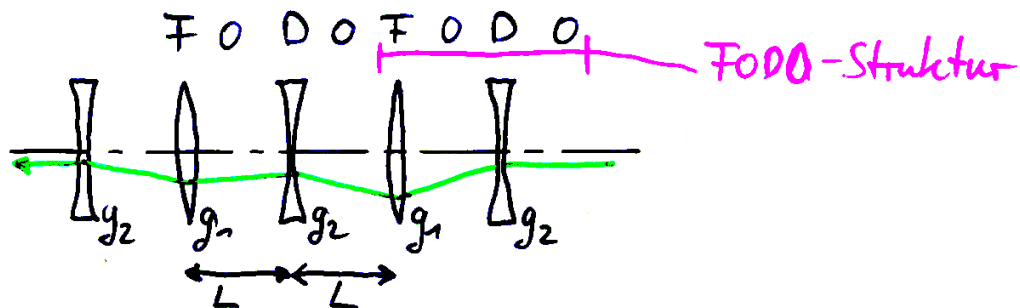


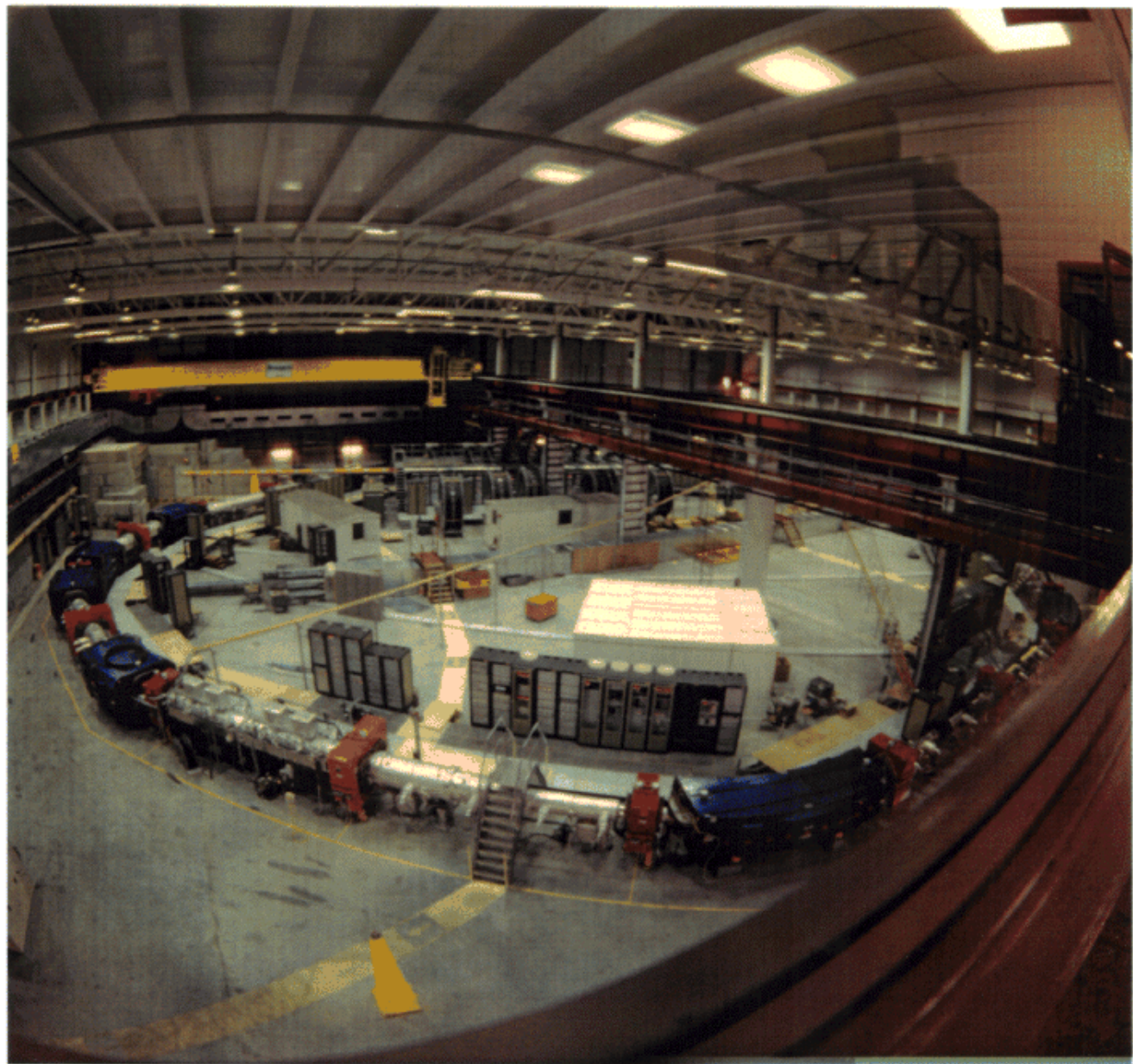
Fig. 1.16 Prinzipieller Aufbau eines modernen Synchrotrons. Die Bahn wird durch Ablenk-magnete mit homogenem Feld festgelegt, während die Fokussierung des Strahls durch gesonderte Magnete besorgt wird. Die Beschleunigung geschieht durch eine oder mehrere kurze HF-Strukturen. Die Teilchen werden von einem Vorbeschleuniger (Linac oder Microtron) geliefert.

Synchrotron-Beschleuniger nutzen Prinzip der starken Fokussierung / alternierende Gradienten



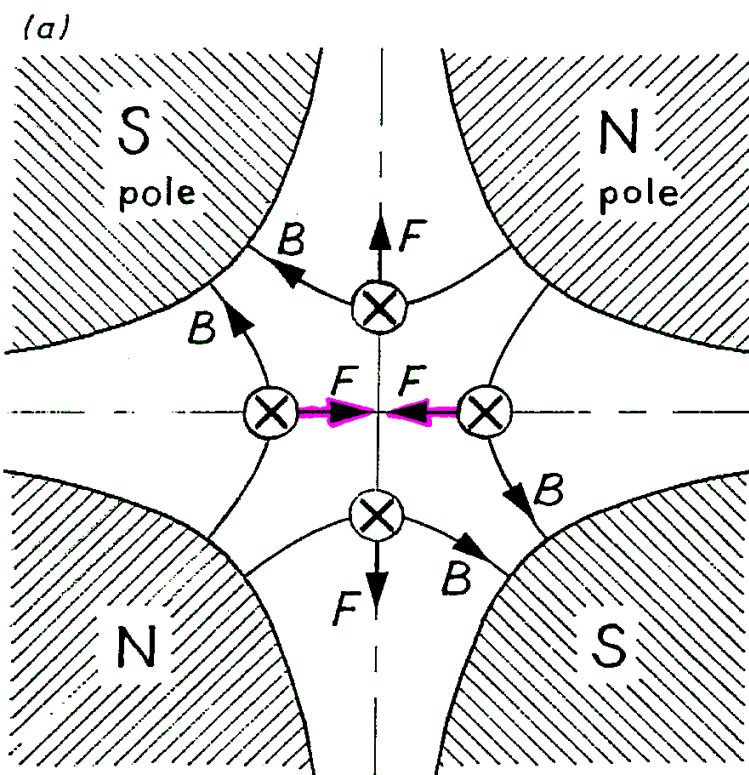
mathematische Behandlung mittels Matrizenoptik

# Anti-Proton Akkumulator Synchrotron (CERN)



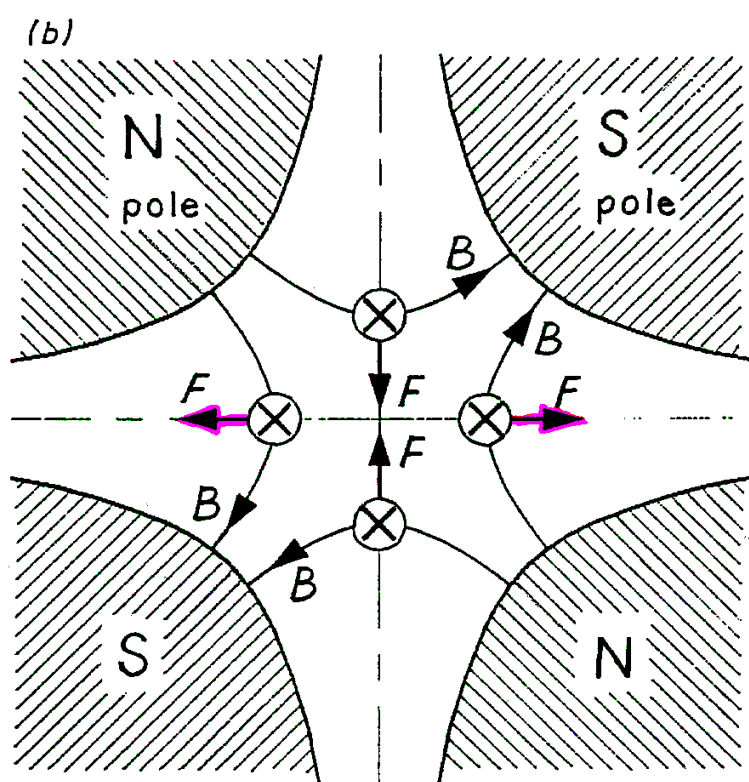
# magnet. Linsen: Quadrupolmagnete

A segment of a magnet



(für pos. Teilchen,  
das in Bild-  
ebene eintritt)

Fokussierend:  
in StrahlEbene



Defokussierend:

Figure 3.1. Fields and forces inside a quadrupole. (a) Focusing or F-type quadrupole, (b) defocusing or D-type quadrupole (drawn for positive particles entering the paper).

# Korrektur von Abbildungsfehlern

(De-)Fokussierung ist impulsabhängig :  $\vec{F} = q \cdot \vec{v} \times \vec{B}$

⇒ Chromatischer Abbildungsfehler: Chromatizität

Chromatizität der Strahloptik und ihre Kompensation

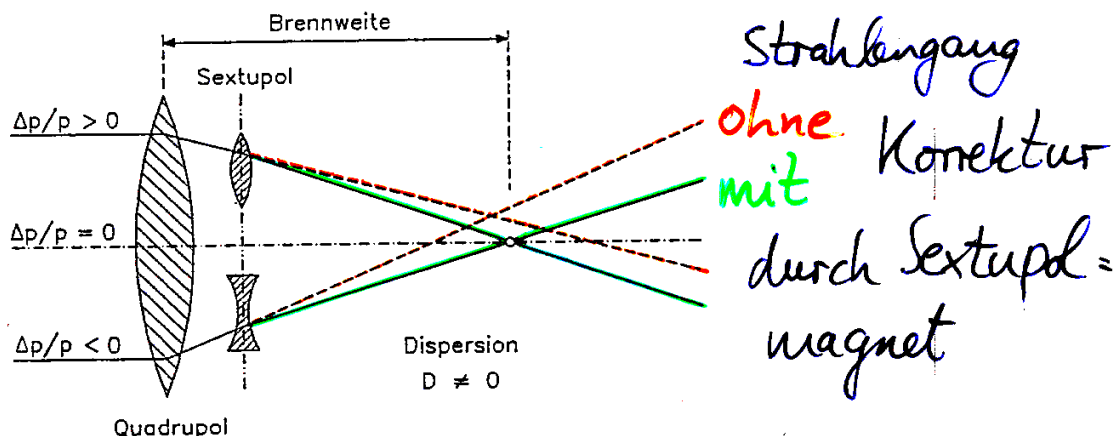
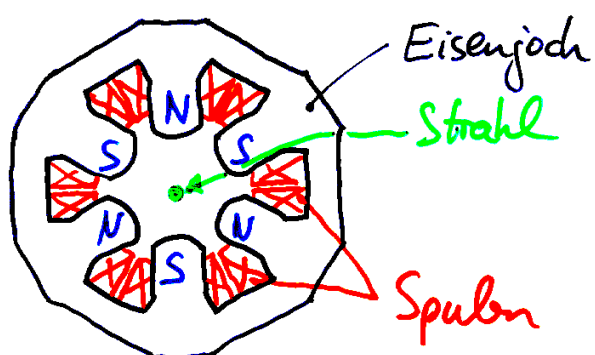


Fig. 3.41 Prinzip der Kompensation der durch Quadrupolmagnete hervorgerufenen Chromatizität durch Sextupole

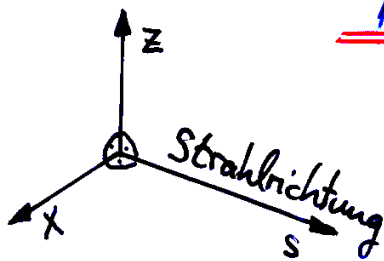
Schema eines Sextupols:



# Matrizen von Strahl=elementen

$$\vec{X} = \begin{pmatrix} x \\ x' \\ z \\ z' \end{pmatrix} \quad \begin{aligned} x' &= \frac{dx}{ds} \\ z' &= \frac{dz}{ds} \end{aligned}$$

$$\Omega = \sqrt{|k|} s.$$



1. horizontal fokussierender Quadrupol ( $k < 0$ ):

$$M_{QF} = \begin{pmatrix} \cos \Omega & \frac{1}{\sqrt{|k|}} \sin \Omega & 0 & 0 \\ -\sqrt{|k|} \sin \Omega & \cos \Omega & 0 & 0 \\ 0 & 0 & \cosh \Omega & \frac{1}{\sqrt{|k|}} \sinh \Omega \\ 0 & 0 & \sqrt{|k|} \sinh \Omega & \cosh \Omega \end{pmatrix}$$

Quadrupol:  $k = \frac{e}{\rho} \frac{d^2 B_z}{dx^2}$   
 $\vec{B} = \vec{\nabla} (\text{const. } x \cdot z)$

2. vertikal fokussierender Quadrupol ( $k > 0$ ):

$$M_{QD} = \begin{pmatrix} \cosh \Omega & \frac{1}{\sqrt{k}} \sinh \Omega & 0 & 0 \\ \sqrt{k} \sinh \Omega & \cosh \Omega & 0 & 0 \\ 0 & 0 & \cos \Omega & \frac{1}{\sqrt{k}} \sin \Omega \\ 0 & 0 & -\sqrt{k} \sin \Omega & \cos \Omega \end{pmatrix}$$

3. Feldfreie Driftstrecke ( $k = 0$ ):

$$M_{Drift} = \begin{pmatrix} 1 & s & 0 & 0 \\ 0 & 1 & 0 & 0 \\ 0 & 0 & 1 & s \\ 0 & 0 & 0 & 1 \end{pmatrix}$$

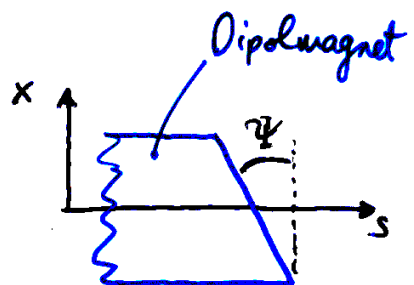
4. Dipolmagnet ( $k = 0, R > 0$ ):

$$M_{Dipol} = \begin{pmatrix} \cos \frac{s}{R} & R \sin \frac{s}{R} & 0 & 0 \\ -\frac{1}{R} \sin \frac{s}{R} & \cos \frac{s}{R} & 0 & 0 \\ 0 & 0 & 1 & s \\ 0 & 0 & 0 & 1 \end{pmatrix}$$

$R \equiv$  Krümmungsradius

5. Kantenfokussierung:

$$M_{Kante} = \begin{pmatrix} 1 & 0 & 0 & 0 \\ \frac{\tan \Psi}{R} & 1 & 0 & 0 \\ 0 & 0 & 1 & 0 \\ 0 & 0 & -\frac{\tan \Psi}{R} & 1 \end{pmatrix}$$



# Strahlinjektion (Elektronenbeschleuniger)

## Injektion in einen Elektronenspeicherring

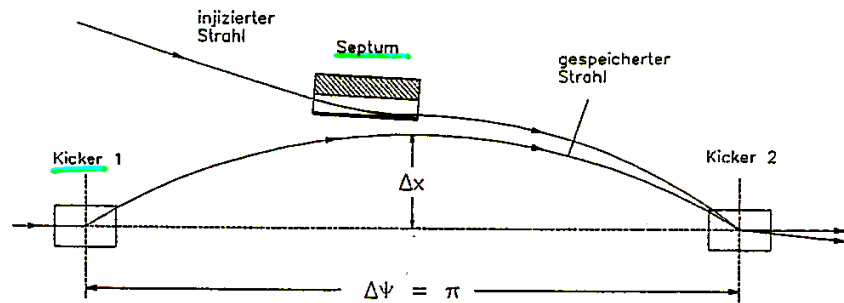


Fig. 4.9 Prinzip der Elektronenakkumulation. Das durch den injizierten Strahl gefüllte Phasenvolumen wird durch Strahlungsdämpfung freigemacht und steht zur nächsten Injektion wieder zur Verfügung. (a.) ist das Phasendiagramm im Ruhezustand vor der Injektion, (b.) zeigt den Zustand während der Injektion und (c.) den in den folgenden Umläufen.

## Septummagnete:

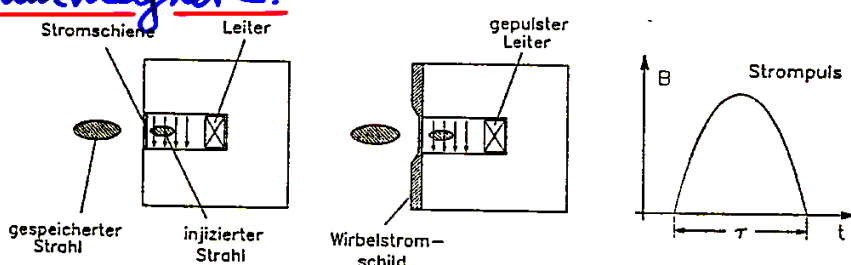


Fig. 4.11 Septummagnete mit Stromschiene und Wirbelstromfeld. Im linken Beispiel wird das Feld im Spalt des Septums durch eine dünne Stromschiene abgeschirmt. Dieser Magnet kann mit Gleichstrom und gepulst betrieben werden. Das rechte Septum nutzt einen aus gut leitendem Material gefertigten Wirbelstromschild. Dieser Septumtyp kann nur im Pulsbetrieb verwendet werden.

z.B.:  $E = 5 \text{ GeV}$ ,  $\ell = 1 \text{ m}$ ,  $a = 4 \text{ cm}$ ,  $b = 8 \text{ cm}$

Ablenkwinkel  $k = 0.3 \cdot \frac{B_z \cdot \ell}{E [\text{GeV}]} \approx 3 \text{ mrad}$

$$B_z = \frac{4 \mu_0 b}{\pi (a^2 + b^2)} \cdot I = 0.05 T$$

$$L = \frac{U}{I} = \frac{8 \mu_0 b^2 \ell}{\pi (a^2 + b^2)} = 256 \mu H$$

$$C = \left( \frac{\tau_{\text{kick}}}{\pi} \right)^2 \cdot \frac{1}{L} = 39.6 \text{ nF}$$

$$U_0 = \sqrt{\frac{L}{C}} \cdot I_{\text{max}} = 25.1 \text{ kV}$$

$$I_{\text{max}} = \text{aus } B_z = 3127 \text{ A}$$

$$\tau_{\text{kick}} = 1 \mu s$$

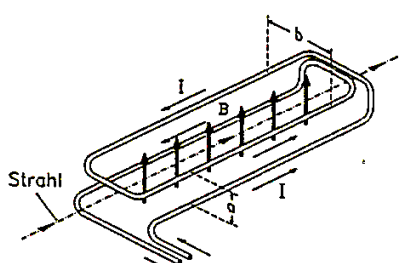
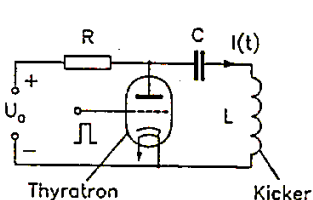


Fig. 4.10 Prinzip eines gepulsten Kickermagneten aus vier parallelen stromführenden Leitern. Der erforderliche Strompuls wird durch Entladung eines Kondensators über ein Thyatron erzeugt.

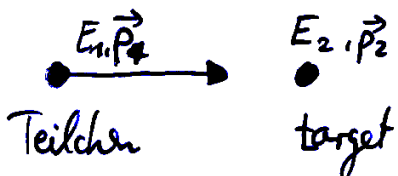


Tab. 3.3 Liste einiger im Betrieb oder im Bau befindlicher Teilchenbeschleuniger und Speicherringe.

Name	Ort	Max. Strahlenergie/GeV	Fertigstellung	Umfang / Länge
<i>Protonen-Synchrotrons</i>				
CERN PS	Genf, Schweiz	28	1960	
BNL AGS	Brookhaven, USA	32	1960	
KEK	Tsukuba, Japan	12	1976	3.0 km
Serpukhov	Serpukhov, UdSSR	76	1967	
→ CERN SPS	Genf, Schweiz	450	1976	6.9 km
→ Fermilab Tevatron	Batavia, USA	900	1982	6.3 km
<i>Elektronenbeschleuniger</i>				
SLAC Linearbeschleuniger	Stanford, USA	20	1966	3.0 km
DESY-Synchrotron	Hamburg, BRD	7	1964	0.29 km
<i>Speicherringe</i>				
SPEAR	Stanford, USA	e <sup>+</sup> e <sup>-</sup>	4.2 + 4.2	0.23 km
DORIS II	DESY, Hamburg	e <sup>+</sup> e <sup>-</sup>	5.6 + 5.6	0.29 km
PETRA	DESY, Hamburg	e <sup>+</sup> e <sup>-</sup>	23 + 23	2.30 km
PEP	Stanford, USA	e <sup>+</sup> e <sup>-</sup>	15 + 15	2.2 km
CESR	Cornell, USA	e <sup>+</sup> e <sup>-</sup>	8 + 8	0.77 km
TRISTAN	Tsukuba, Japan	e <sup>+</sup> e <sup>-</sup>	30 + 30	3.0 km
→ LEP	CERN, Schweiz	e <sup>+</sup> e <sup>-</sup>	100 50 + 50 100	26.7 km
SppS	CERN, Schweiz	p <bar>p</bar>	310 + 310	6.9 km
→ Tevatron	Fermilab, USA	p <bar>p</bar>	900 + 900	6.3 km
→ HERA	Hamburg, BRD	e <sup>+</sup> p	30e + 820p	6.3 km
SSC	Dallas, USA	p <bar>p</bar>	20000 + 20000	> 1998 87.1 km
LHC	CERN, Schweiz	pp	7000 + 7000	2005
?	?	$\mu^+\mu^-$	>2000 + >2000	?
?	?			?
<i>Linearbeschleuniger mit kollidierenden Strahlen</i>				
→ SLC	Stanford, USA	e <sup>+</sup> e <sup>-</sup>	50 + 50	1988
NLC	?	e <sup>+</sup> e <sup>-</sup>	250 + 250	?
?	?			30 km

Collider  $\leftrightarrow$  fixed target

Fixed target: beschleunigter Teilchenstrahl wird aus gekoppelt und auf Treffermaterial gelenkt



- + leicht realisierbar (große Trefferfläche)
  - geringe Energie im Stoß:  $(E_1 + E_2)^2 - (\vec{p}_1 + \vec{p}_2)^2 =$   
 $(E_1 + m_2)^2 - (\vec{p}_1)^2 =$

$$\sqrt{s} \approx \sqrt{2E_1 m_2} \leftarrow m_1^2 + m_2^2 + 2E_1 m_2 = s$$

(z.B. Proton  $m_1 = 938 \text{ MeV}/c^2$ ,  $E_1 = 10^6 \text{ MeV} \approx 1 \text{ TeV}$   
 auf Proton  $m_2 = m_1 \Rightarrow \sqrt{s} = 43 \cdot 10^3 \text{ MeV} \approx 43 \text{ GeV}$ )

**Collider:** gegenläufig umlaufende Strahlen werden frontal zur Kollision gebracht

- fokussierte Strahlen müssen sich treffen (kleine Trefffläche)
  - + hohe Energie im Stoß:  $(E_1 + E_2)^2 - (\vec{p}_1 + \vec{p}_2)^2 =$



$$m_1^2 + m_2^2 + 2(E_1 E_2 + |\vec{p}_1 \cdot \vec{p}_2|) \geq s$$

(z.B. Proton auf Proton mit je  $E_1 = E_2 = 0.5 \text{ TeV}$   
 $\Rightarrow \sqrt{s} \approx 1 \text{ TeV}$ , d.h.  $\sqrt{s} \approx \sqrt{E_1 \cdot E_2}$ )

TeV @ Fermilab



## SLC @ SLAC , U.S.A.

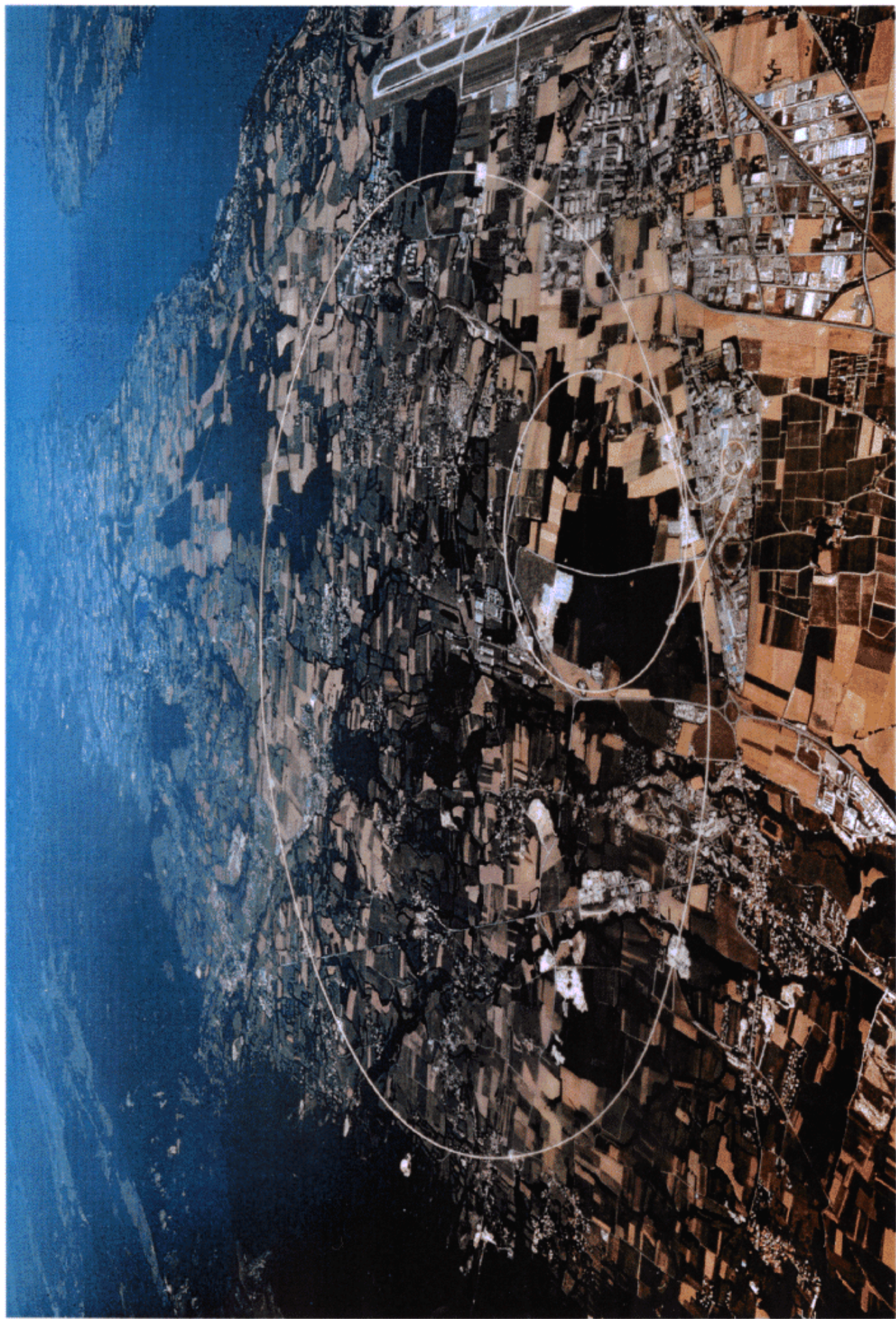


**4.16** Dieses Luftbild zeigt das Linearbeschleunigerzentrum in Stanford (SLAC). Der drei Kilometer lange Linearbeschleuniger wurde unter einer Autobahn hindurchgeführt. Die Versuche finden am Kopf des Beschleunigers (Vordergrund) und in einem unterirdischen Speicherring statt.

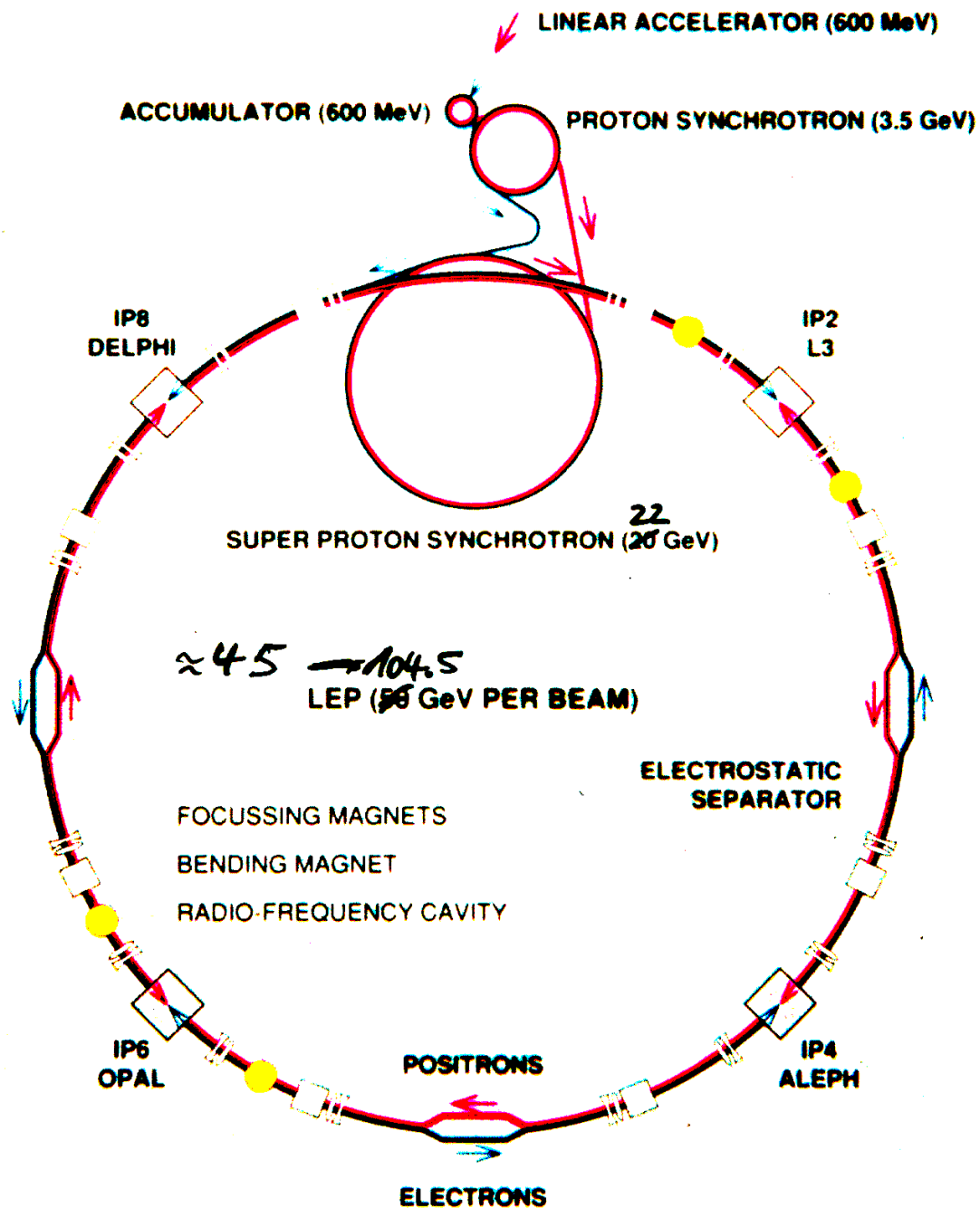
# HERA und PETRA @ DESY, D



LEP - Beschleunigerkomplex des CERN, CH



## THE LEP COMPLEX



im LEP - Tunnel



# Synchrotronstrahlung

klass. E-Dynamik: beschleunigte Ladungen strahlen elektromagn. Wellen ab

Abstrahlungsleistung im Synchrotron

$$\text{Energieverlust/Umlauf: } \Delta E = \frac{1}{6\pi\varepsilon_0} \frac{e^2 v^2}{c^3 R^2} \cdot \gamma^4 \cdot \frac{2\pi R}{v} \quad \begin{matrix} \text{Krümmungsradius } R \\ \gamma \equiv \frac{E}{m} = \frac{1}{\sqrt{1 - (v/c)^2}} \end{matrix}$$

Z.B. für Elektronen:

$$\Delta E \approx 8.85 \cdot 10^{-5} \frac{E^4 [\text{GeV}]}{R [\text{km}]} \text{ MeV/Umlauf}$$

LEP:  $R \approx 3.03 \text{ km}$ ,  $E = 100 \text{ GeV} \Rightarrow \Delta E = 2920 \text{ MeV/Umlauf}$   
bei Strahlstrom  $I \approx 2 \times 3 \text{ mA} \Rightarrow \text{Leistung} \approx \underline{17.5 \text{ MW}}$

Abstrahlwinkel:  $\tan \theta \approx \frac{1}{\beta \gamma} \approx \frac{1}{\gamma}$  (LEP:  $\theta \approx 5 \cdot 10^{-6} \text{ rad}$ )

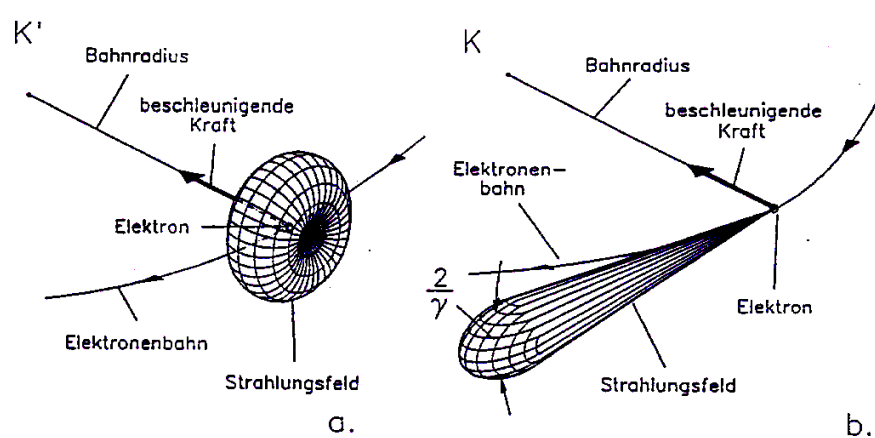
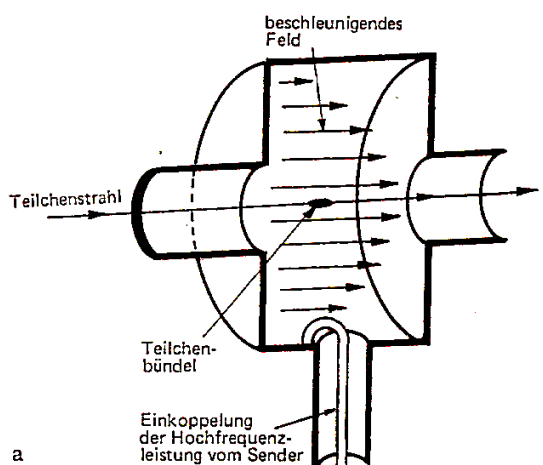


Fig. 2.3 Transformation der axialsymmetrischen Strahlungsverteilung im Schwerpunktsystem (a.) in die scharf nach vorn gebündelte Verteilung im Laborsystem K (b.)

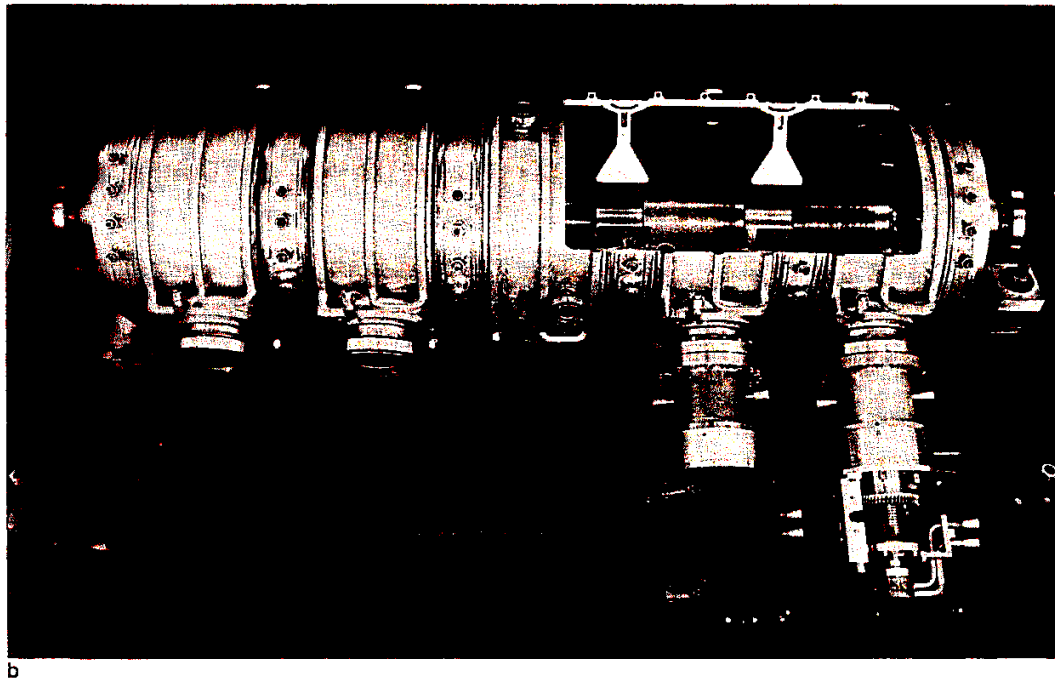
Speicherring-Betrieb: Abgestrahlte Energie muß wieder zugeführt werden!

# Hohlraumresonatoren (Cavities)



a

Bild 14: (a) Einzellige Beschleunigungs-Struktur für Spannungen bis ca. 500000 Volt. (b) Fünfzellige Beschleunigungs-Struktur für Spannungen bis 2 Millionen Volt



b

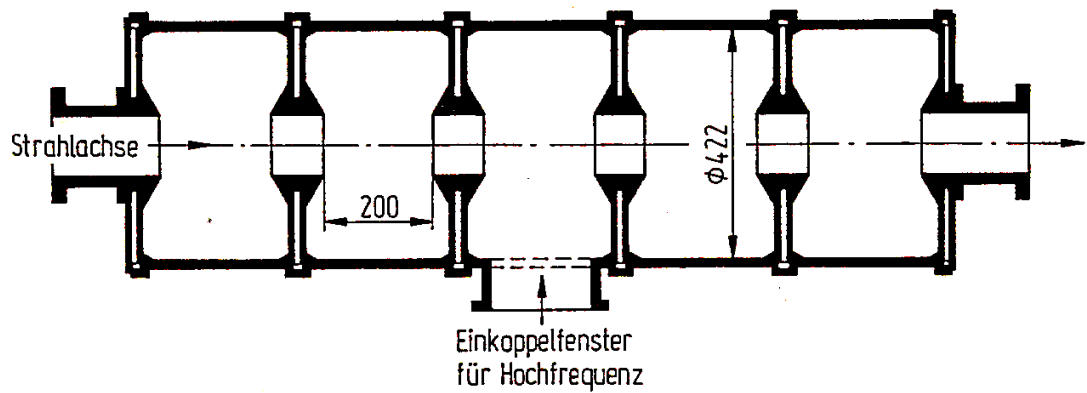
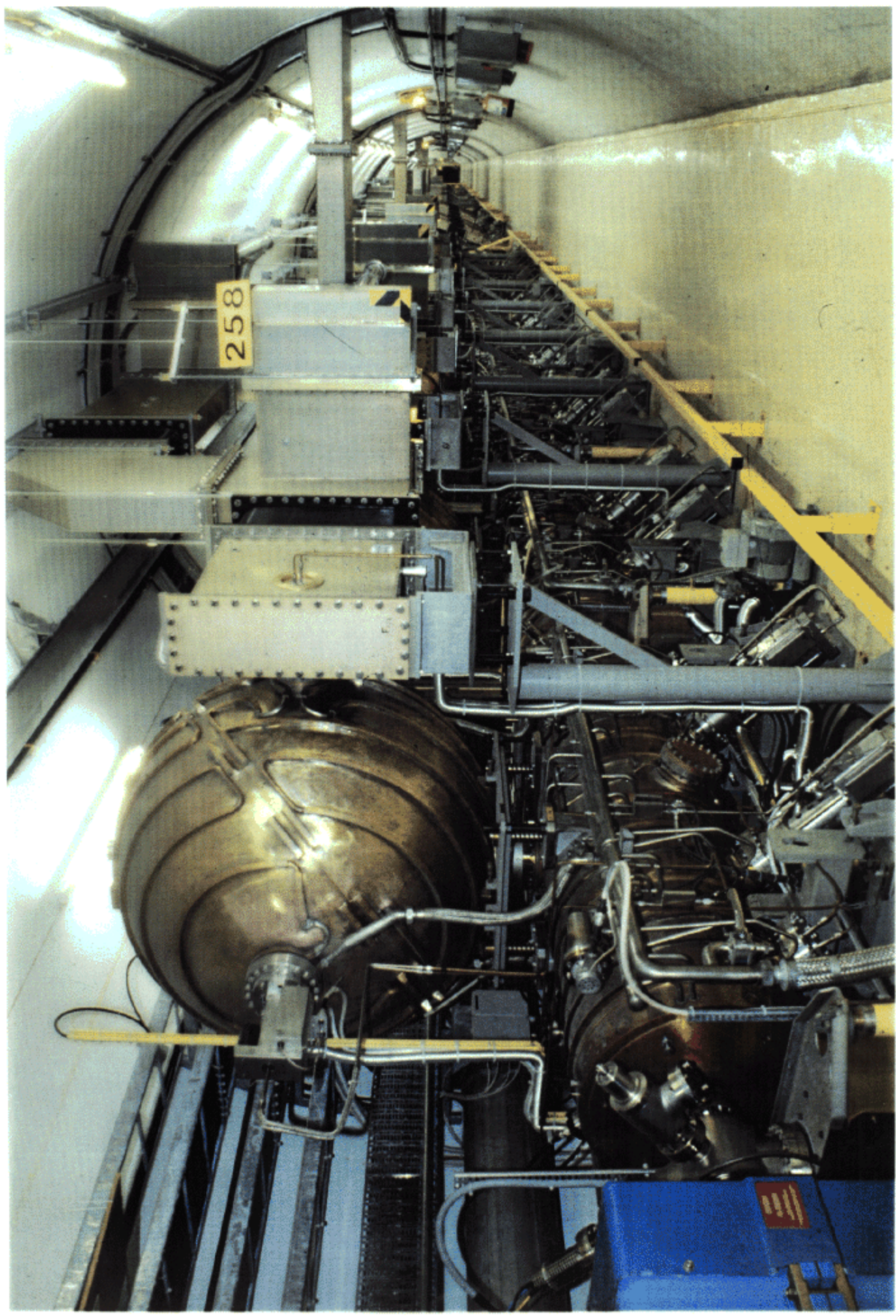
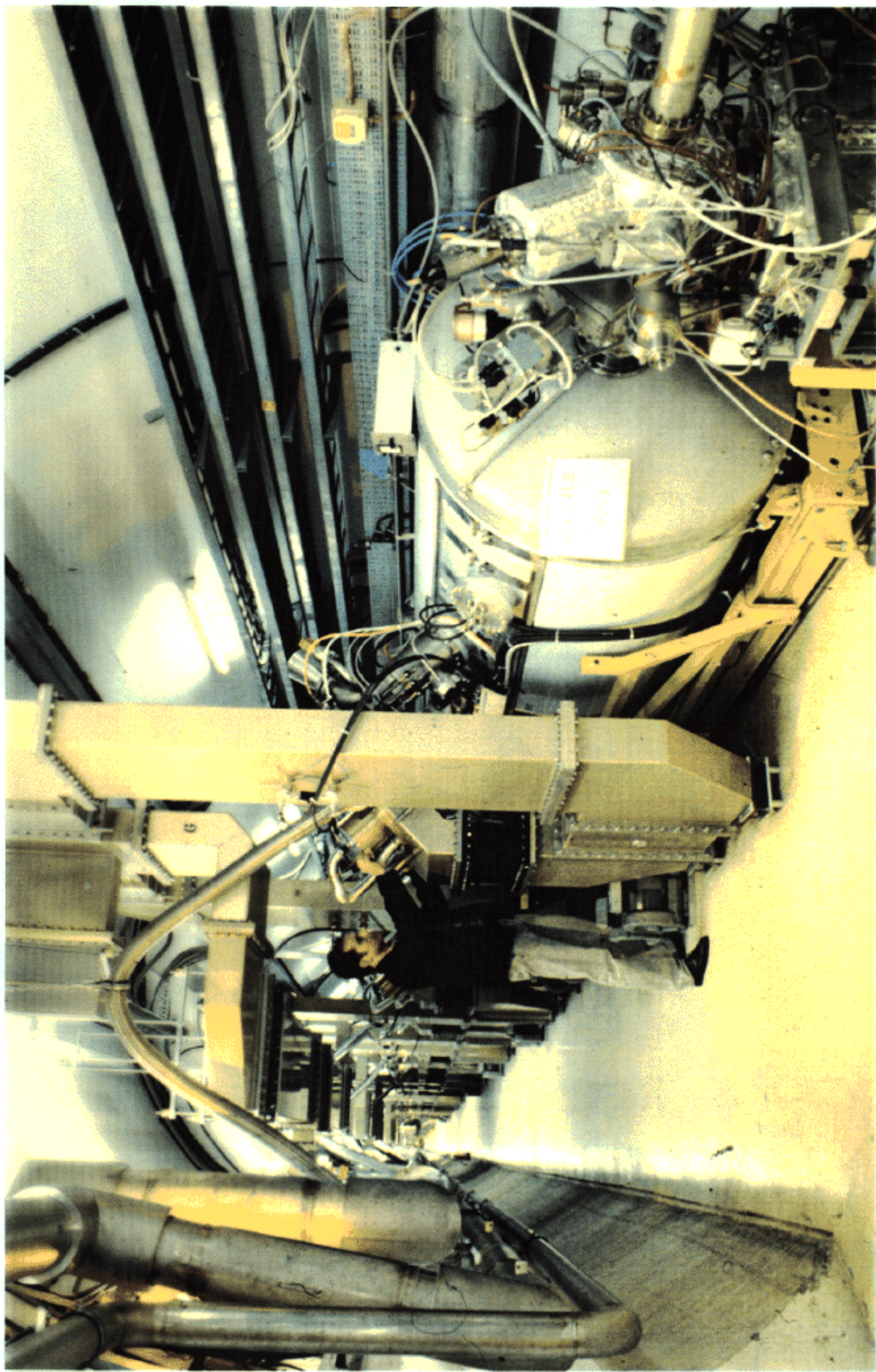


Abb. 3.10 Eine fünfzellige Hochfrequenzbeschleunigungsstrecke für den PETRA-Speicher-  
ring. (500 MHz)

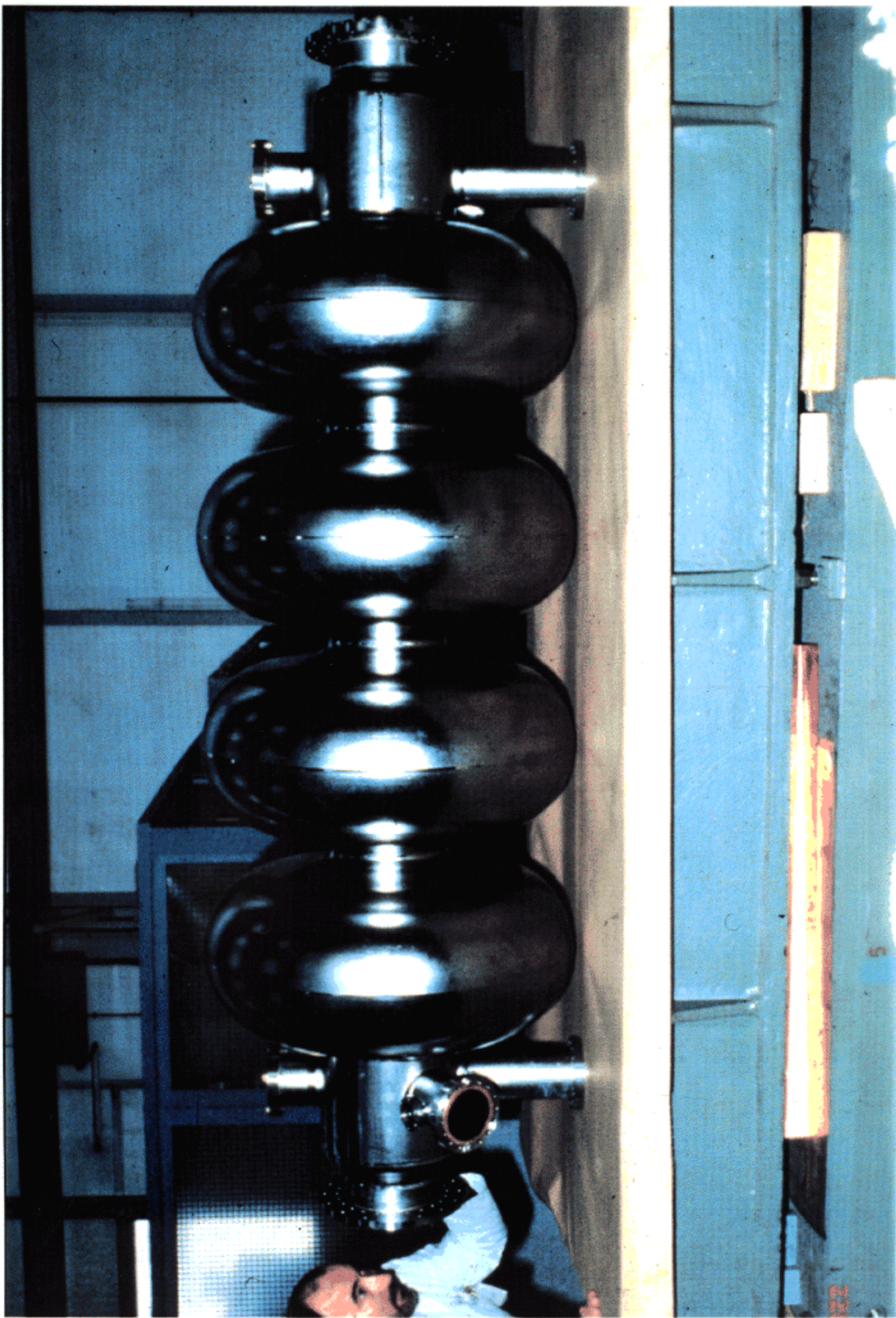
Normalleitende Cavity von LEP



Supraleitende Cavity von LEP

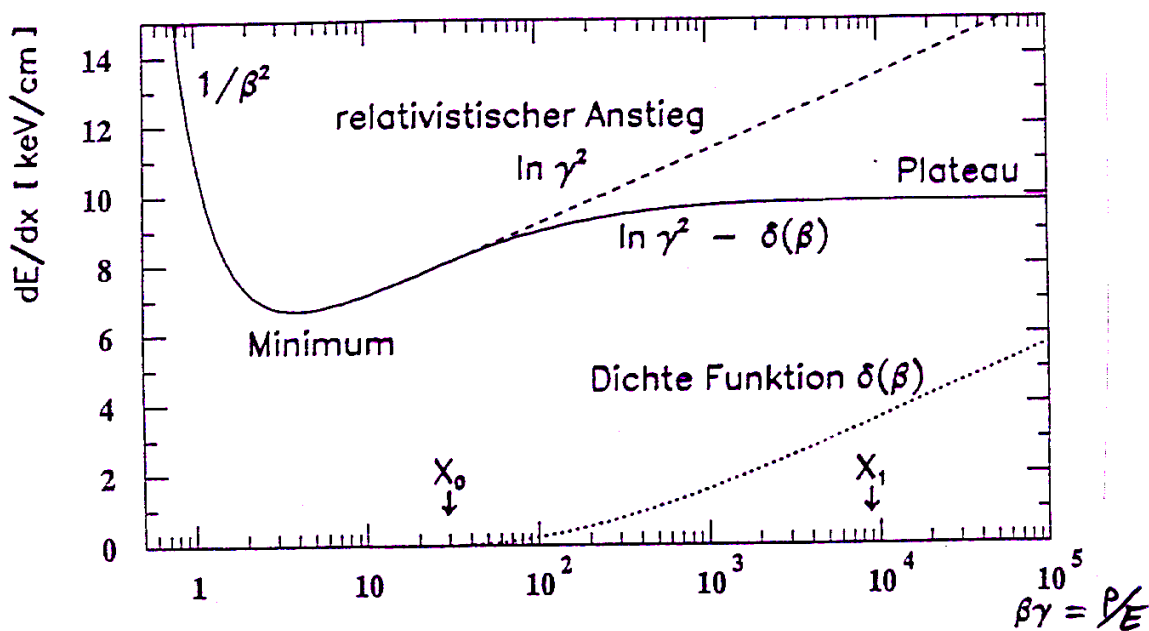


Resonator einer supraleitenden LEP-Cavity



# Ww. geladener Teilchen mit Materie

→ Ionisation, beschrieben durch Bethe-Bloch-Gleichung



$$-\frac{dE}{dx} = 2\pi N_A \cdot r_e^2 m_e c^2 \cdot g \frac{Z}{A} \cdot \frac{z^2}{\beta^2} \left[ \ln \left( \frac{2m_e v^2 T_{max}}{I^2} \right) - 2\beta^2 - \delta(\beta) \dots \right]$$

$$\approx 0.1535 \frac{\text{MeV} \cdot \text{cm}^2}{\text{g}}$$

$g$ : Dichte des Materials

$Z$ : Kernladungszahl ~

$A$ : Atomgewicht ~

$m_e$ : Elektronenmasse

$I$ : mittlere Ionisationsenergie des Materials [eV] (typ. 70 ... 500 eV)

$z$ : Ladung des einfallenden Teilchens [e]

$T_{max}$ : max. Energieübertrag in einzelner Kollision

$v = c \cdot \beta$ : Geschwindigkeit der Teilchens

$$\gamma^2 = 1/\beta^2$$

Energieverlust  $dE$  ist Teilchenspezifisch

$$-\frac{dE}{dx} \sim \frac{1}{\beta^2} \cdot \ln \gamma \beta^2$$

$$\left\{ \begin{array}{l} \beta = \frac{v}{c} = \frac{p}{E} \\ \gamma = \sqrt{1 - \beta^2} = \frac{E}{m} \end{array} \right.$$

$\Rightarrow$  Teilchenidendifikation durch spez. Energieverlust

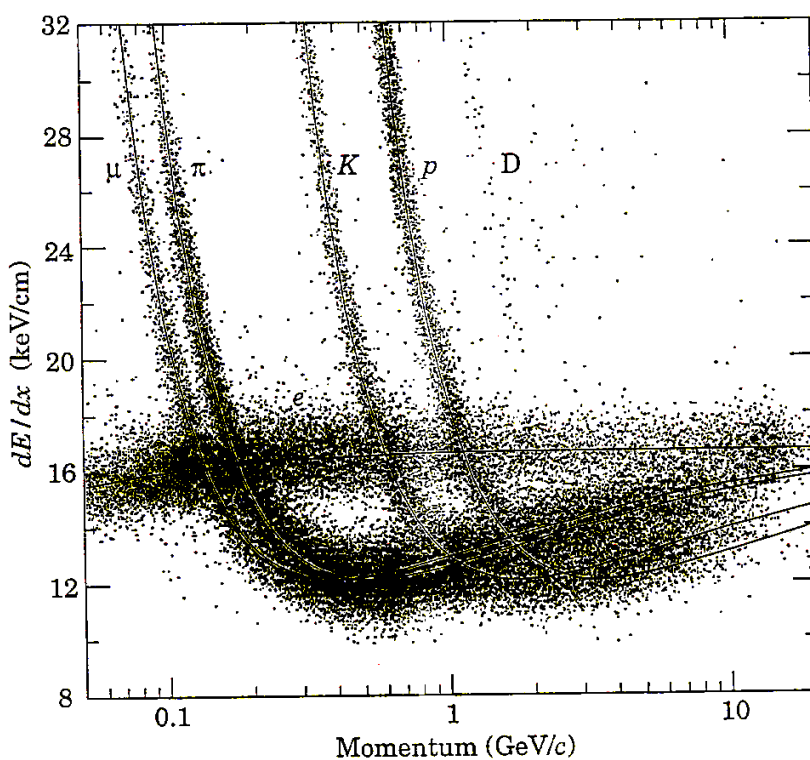
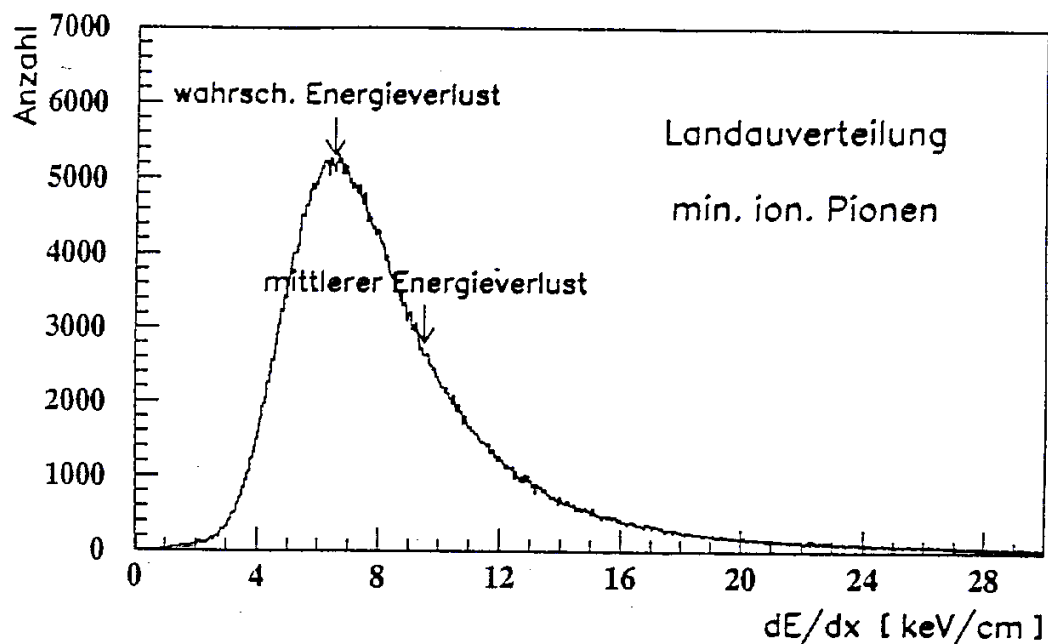


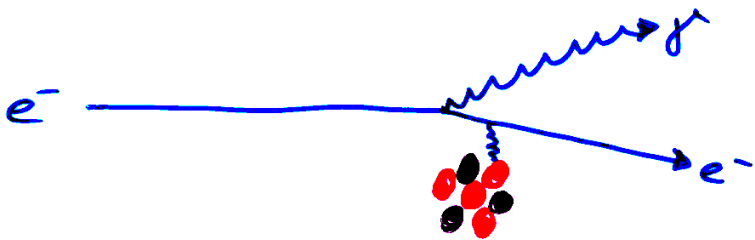
Figure 24.5: PEP4/9-TPC  $dE/dx$  measurements (185 samples @8.5 atm Ar-CH<sub>4</sub> 80-20%) in multihadron events. The electrons reach a Fermi plateau value of 1.4 times minimum. Muons from pion decays are separated from pions at low momentum;  $\pi/K$  are separated over all momenta except in the cross-over region. (Low-momentum protons and deuterons originate from hadron-nucleus collisions in inner materials such as the beam pipe.)

## Die Landau-Verteilung

Bethe-Bloch-Formel gibt mittlere Energieverlust an



## Bremsstrahlung



hauptsächlich für Elektronen und Positronen; weil Streuwirkungsquerschnitt  $\sigma \sim \frac{1}{m^2}$

$$-\left. \frac{dE}{dx} \right|_{\text{Bremsstrahlung}} = 4Z^2 \cdot \Gamma_e^2 \alpha_{\text{em}} \cdot \left[ \ln(183 \cdot Z^{-1/3}) + \text{Korrekturen} \right]$$

$$\Gamma_e = \frac{e^2}{4\pi\epsilon_0 m_e c^2} \quad \text{klass. Elektronenradius}$$

- kritische Energie :  $\left( \frac{dE}{dx} \right)_{\text{Bremsstrahlung}} = \left( \frac{dE}{dx} \right)_{\text{Ionisation bei Kollision}}$

- Strahlungslänge :  $E(x) = E_0 \cdot \exp\left(\frac{-x}{\chi_0}\right)$

Distanz  $\chi_0$ , nach der die Elektronenergie durch Bremsstrahlung auf  $1/e$  abgesunken ist

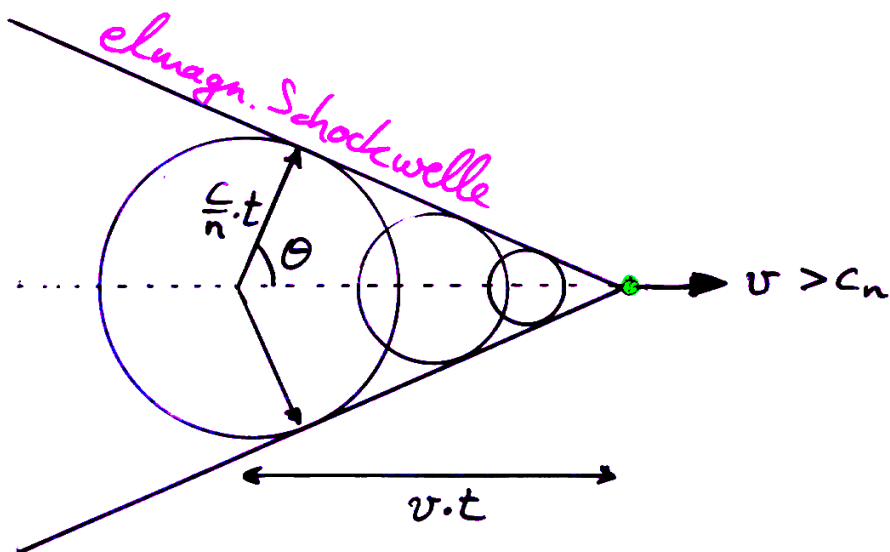
$$\frac{1}{\chi_0} \approx \left[ 4Z(Z+1) \frac{\rho \cdot N_A}{A} \right] \Gamma_e^2 \alpha_{\text{em}} \cdot \left[ \ln(183 \cdot Z^{-1/3}) + \text{Korrekturen} \right]$$

## Čerenkov - Strahlung

Lichtgeschwindigkeit im Medium mit Brechungsindex  $n$

$$c_n = \frac{c}{n}$$

Teilchen mit  $v = \beta c > c_n = \frac{c}{n}$  emittieren  
Čerenkov-Licht (vgl. Mach'scher Überschallkegel)



$$\cos \theta = \frac{\frac{c}{n} \cdot t}{v \cdot t} = \frac{1}{\beta \cdot n}$$

typ. Energieverlust des Teilchens ist gering ( $\approx 0.01 \frac{\text{MeV cm}^2}{\text{g}}$ )  
und in Bethe-Bloch-Formel bereits enthalten

Čerenkov-Licht kann / wird zum TeilchenNachweis  
und zur Teilchenidentifikation benutzt

# Ww. von Photonen mit Materie

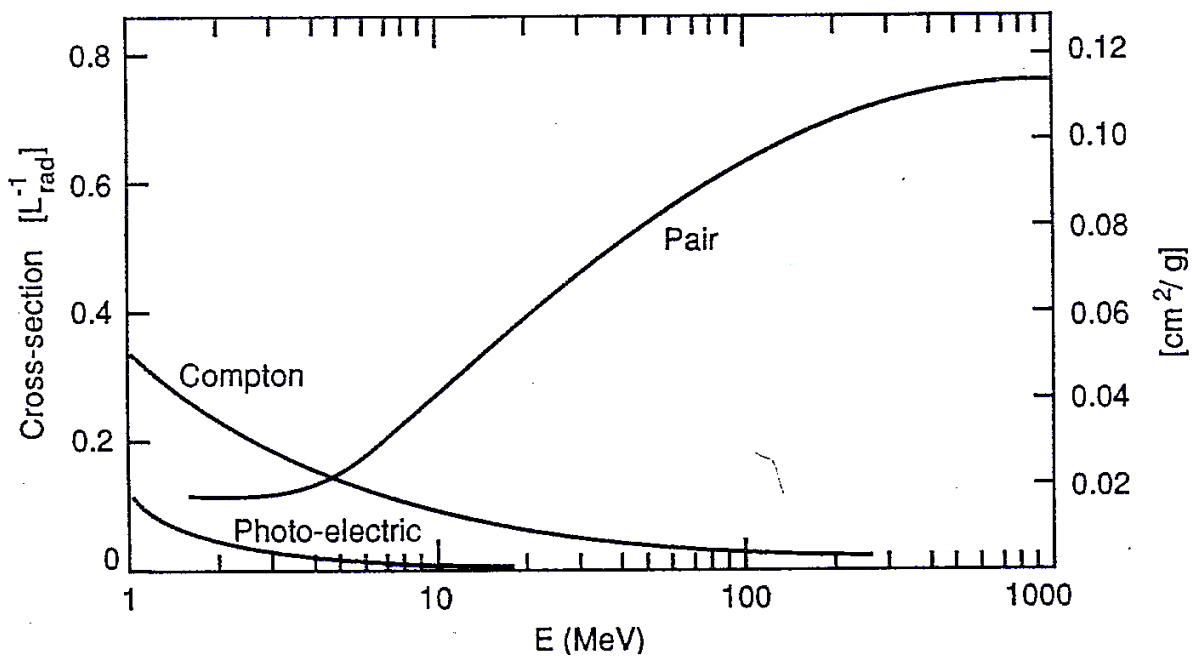
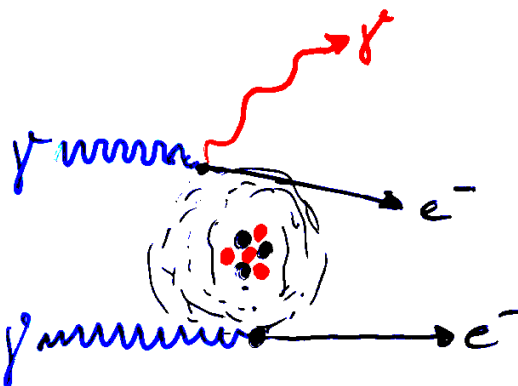
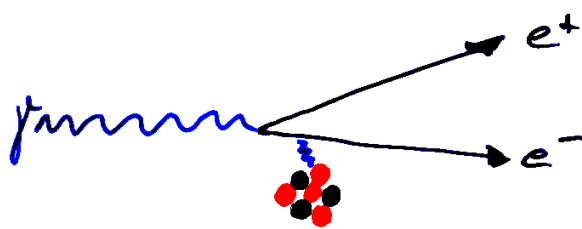


Figure 4: Photon cross-section  $\sigma$  in lead as a function of photon energy. The intensity of photons can be expressed as  $I = I_0 \exp(-\sigma x)$ , where  $x$  is the path length in radiation lengths

Compton-Streuung:



Photoeffekt



Paarbildung:

unterhalb  $E = 1 \text{ MeV}$ : Photoeffekt dominiert

oberhalb  $E = 1000 \text{ GeV}$ : Paarbildung dominiert

Strahlungslänge:  $\lambda_{\text{Paar-}} \approx \frac{9}{7} X_0$  (d.h. ca. 54% statt 1/e)

## Detektoren

Prinzip: Wechselwirkung von Teilchen mit Materie hinterlässt messbares Signal

- geladene Teilchen
- Photonen

- Detektoren:**
- Spurdetektoren (Richtung und Impuls geladener Teilchen)
  - Kalorimeter (Gesamtenergie [und Richtung] geladener und neutrale Teilchen)
  - Flugzeitdetektoren (Messung der Zeit zum Durchqueren einer festen Flugstrecke)  
→  $\beta = v/c$
  - Übergangsstrahlungs- und ringabbildende Čerenkov-Detektoren (Identifikation von Teilchen)
  - Schwellendetektoren (Herausfiltern von spezifischen Teilchen aus vielen anderen)

# Nachweis ionisierender Strahlung

Table 24.4: For various gases at STP: (a) yield of ionization encounters ( $1/\lambda$ ) for m.i.p. [46], (b)  $t_{99}$ : thickness of the gas layer for 99% efficiency, and (c) the average number of free electrons produced by a m.i.p. (calculated using data from Ref. 47).

	Encounters/cm	$t_{99}(\text{mm})$	Free electrons/cm
He	5	9.2	16
Ne	12	3.8	42
Ar	25	1.8	103
Xe	46	1.0	340
$\text{CH}_4$	27	1.7	62
$\text{CO}_2$	35	1.3	107
$\text{C}_2\text{H}_6$	43	1.1	113

The probability to have at least one ionization encounter is  $1 - \exp(-\Delta/\lambda)$  and the thickness of the gas layer for 99% efficiency is  $t_{99} = 4.6\lambda$ .

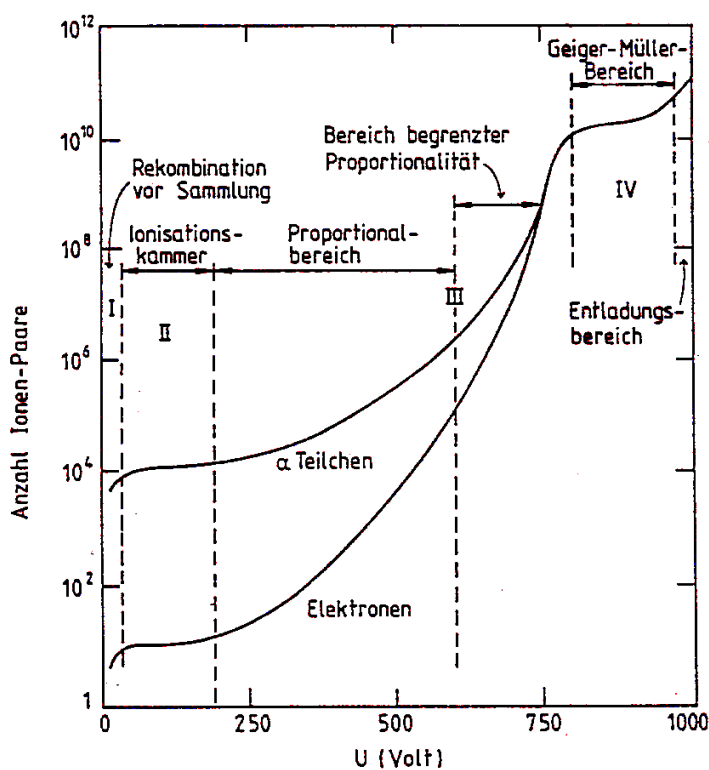
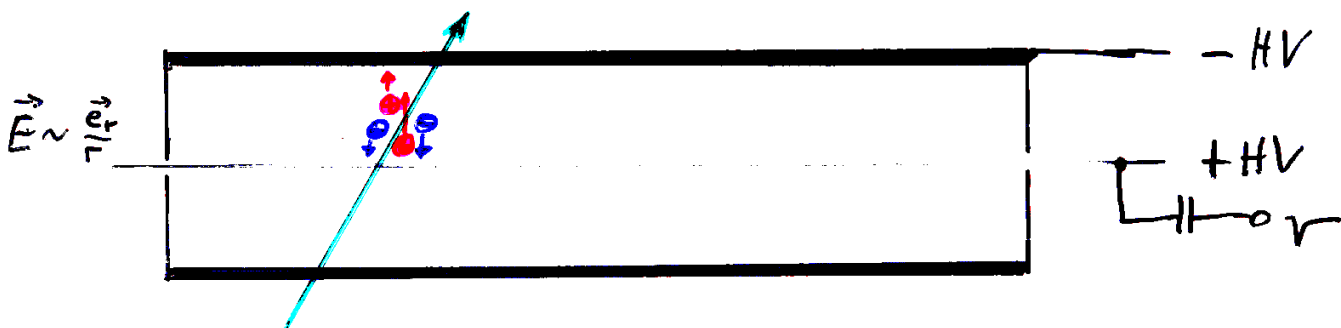


Fig. 2.8: Gasverstärkung als Funktion der angelegten Spannung U im Proportionalzähler für  $\alpha$ -Teilchen und Elektronen (nach [PR 58]).

# Vorgänge im Bereich der (Gas-)Verstärkungszone

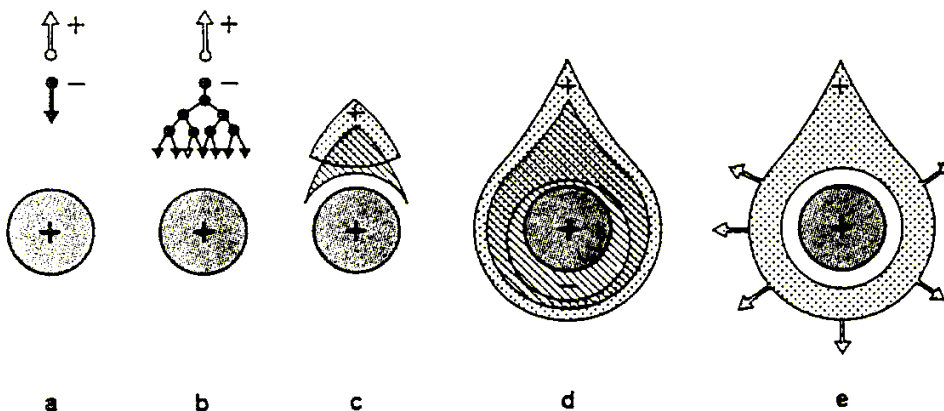


Fig. 3.2: Zeitliche Entwicklung der Lawine in der Nähe des Anodendrahtes eines Proportionalzählers. a) Ein primäres Elektron bewegt sich zur Anode; b) das Elektron gewinnt im elektrischen Feld Energie und ionisiert Atome, die Lawinenbildung setzt ein; c) Elektronen- und Ionenwolke driften auseinander; d) und e) die Elektronenwolke driftet zum Draht, die Ionenwolke entfernt sich radial [CH 72].

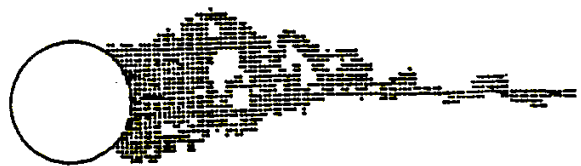
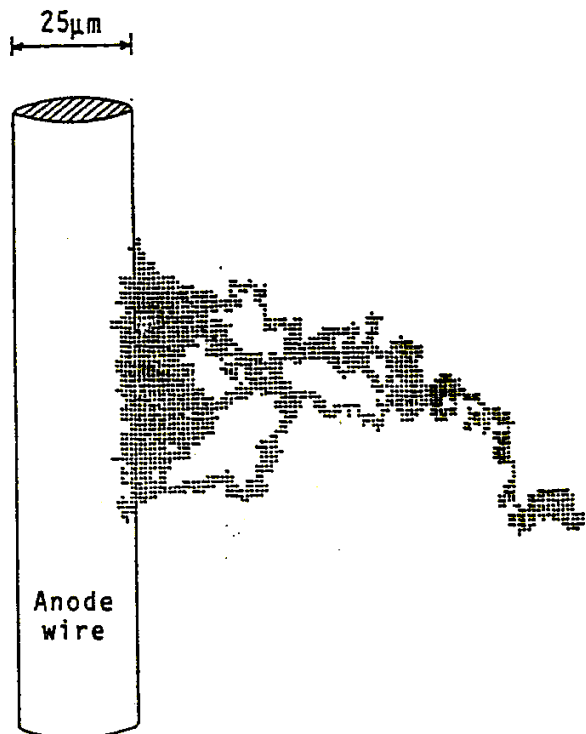


Fig. 4.7. Two-dimensional displays of the electron density in a small avalanche created by a Monte Carlo simulation from a single electron. Photon ionization was neglected [MAT 85]



# Drift - oder Jetkammer

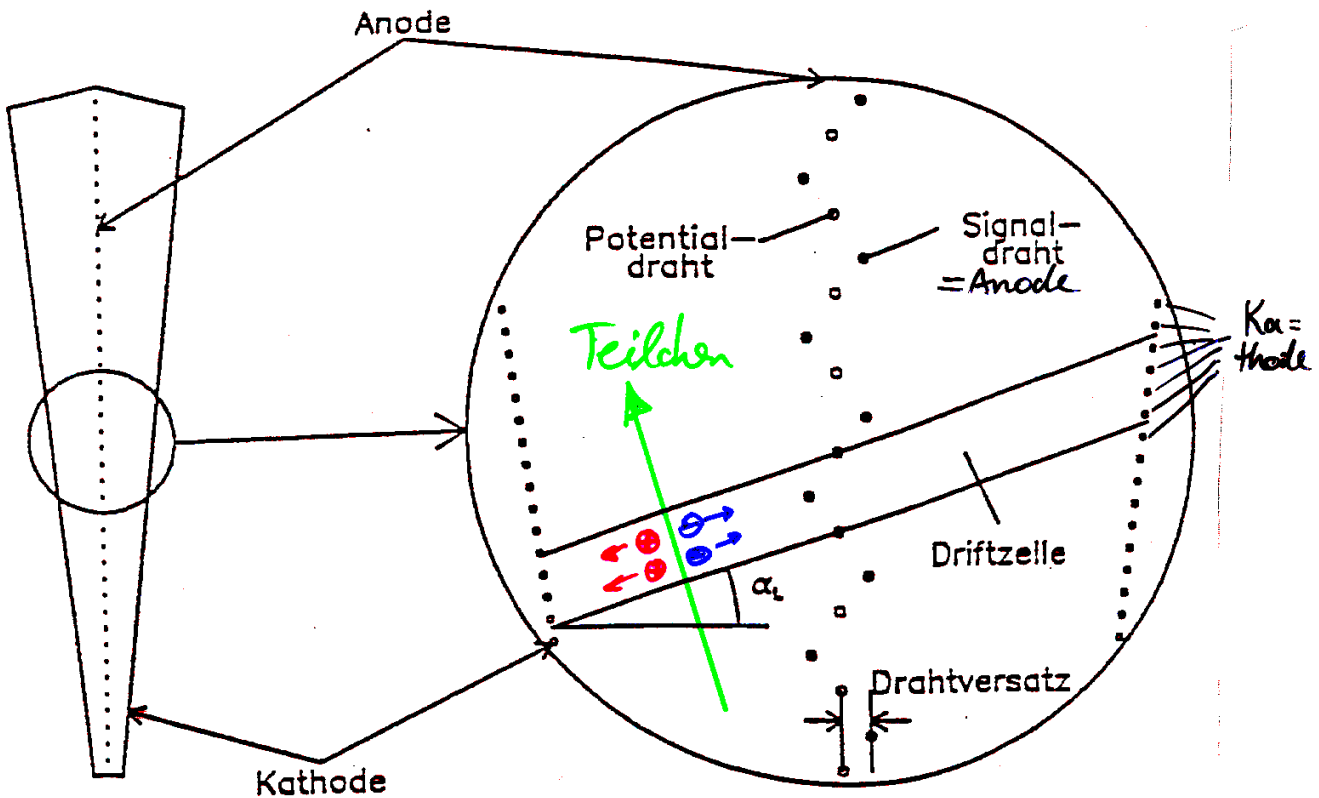


Abb. 3: Aufbau eines Sektors der Jetkammer (Querschnitt in der  $r\phi$  - Ebene).

Proportional  
Bereich  
zur  
Signal-  
stärkung

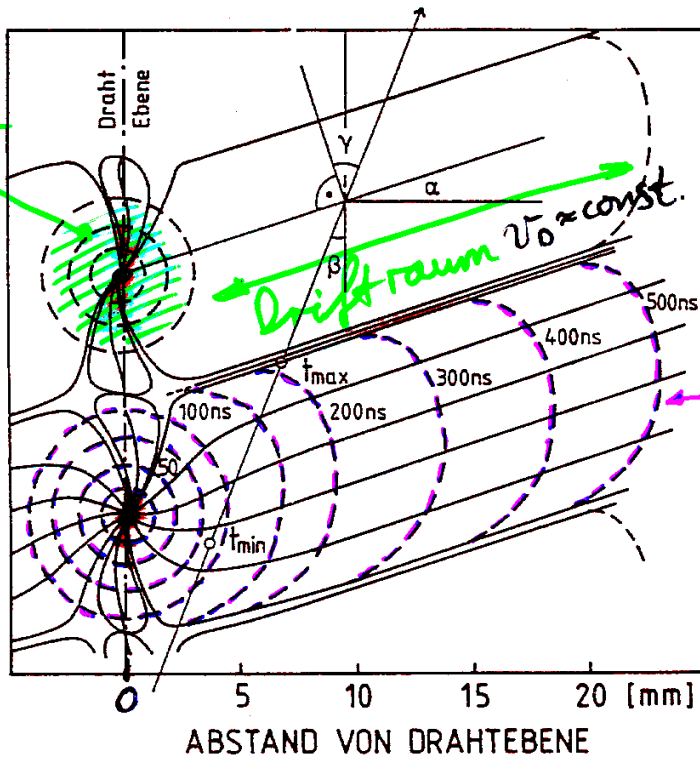


Fig. 3.16:

Driftwege der Elektronen (durchgezogene Linien) und Flächen gleicher Driftzeit (gestrichelt) in der Nähe des Anoden-drahtes der Jet-Kammer [DR 80, WA 81b].

Isochronen (Linien gleicher Driftzeit)

# Halbleiterdetektor : PN-Diode

⊖ Acceptor ion

⊕ Donor ion

+ Hole

- Electron

## THE PN JUNCTION

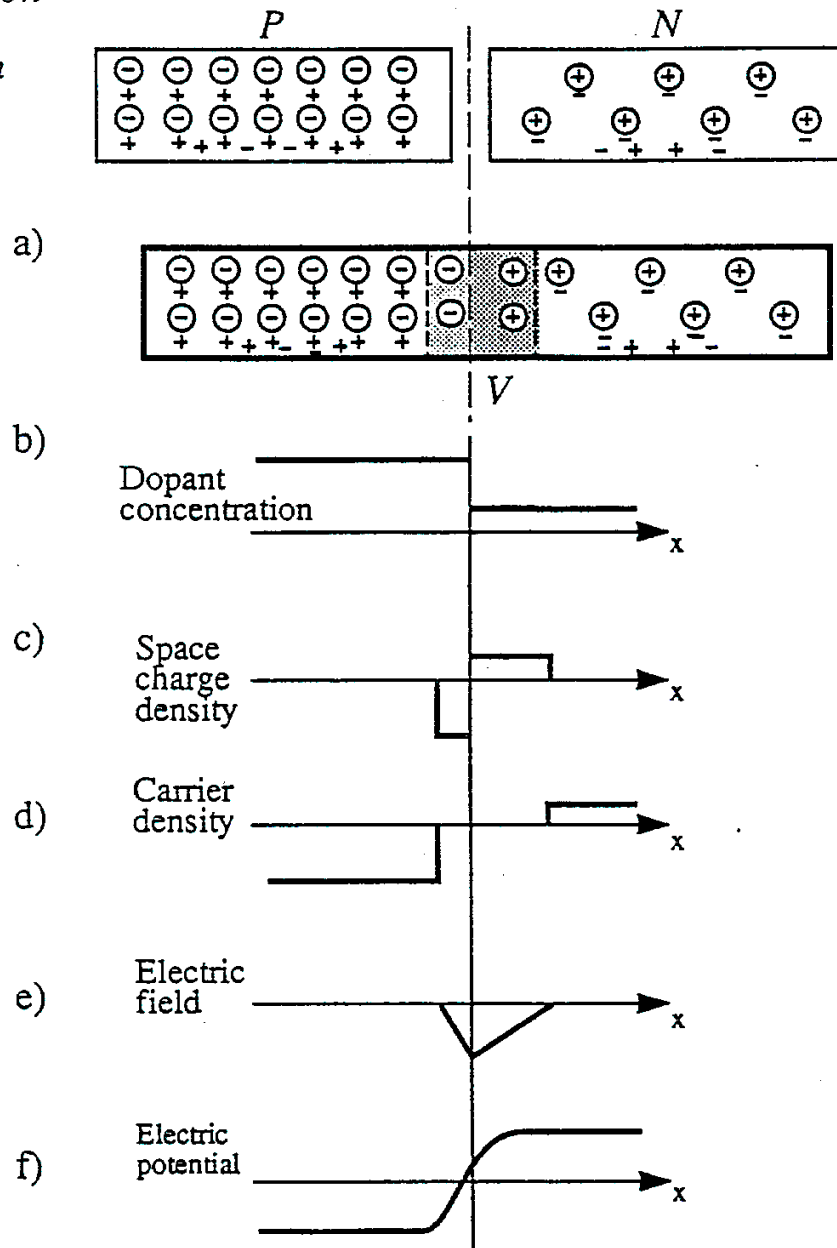


Figure 1: The p-n junction. a) Two crystals of opposite type are brought together and a depletion layer is formed on either side of the junction. b) The dopant concentration. c) Net space charge density showing zero charge except for a dipole layer at the junction. d) Electrons and holes density through the crystal showing no free carriers in the depleted zones. e) Electric field distribution. It is maximum at the junction and zero outside the depletion regions. f) The potential distribution within the depletion region.

## Ortsauflösender Halbleiterdetektor

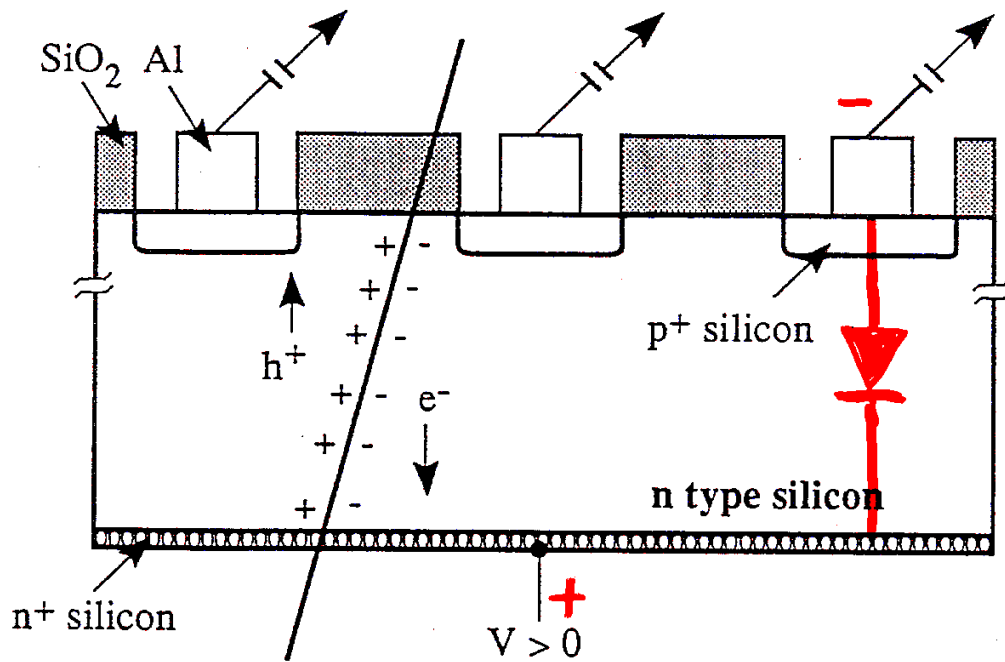


Figure 5: Schematic of a silicon particle detector.

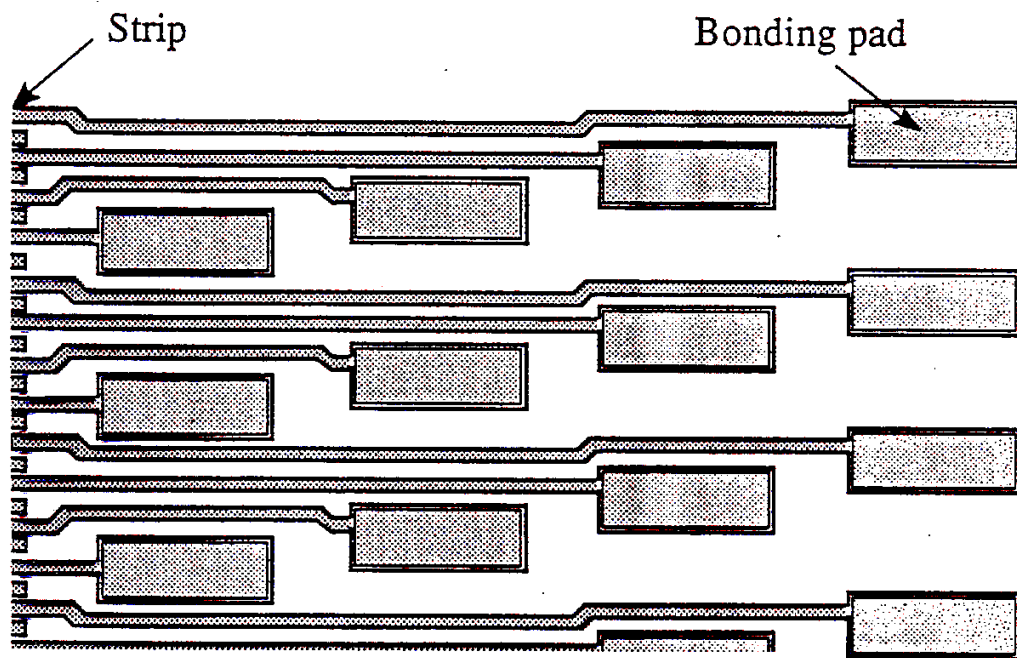
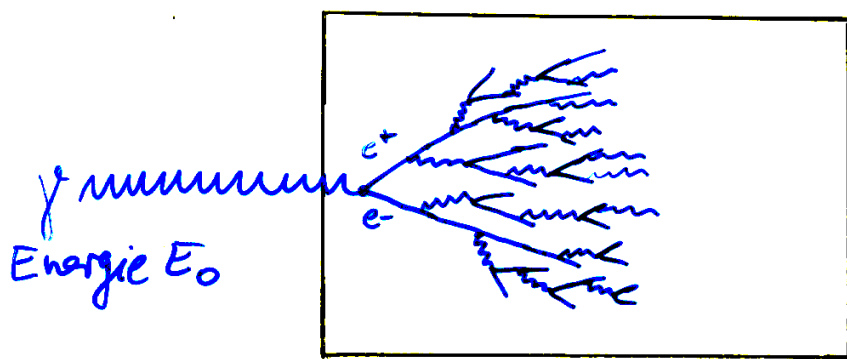


Figure 6: Layout of a silicon microstrip detector.

# Photonennachweis durch Schauerdetektoren



Schauerprozeß  
durch  
Bremsstrahlung  
und  
Paarbildung

- Zahl der Teilchen im Schauermaximum  $\sim E_0$
- Position des Schauermaximums  $\sim \ln E_0$
- Gesamte Spurlänge von Elektron & Positronen  $\sim E_0$

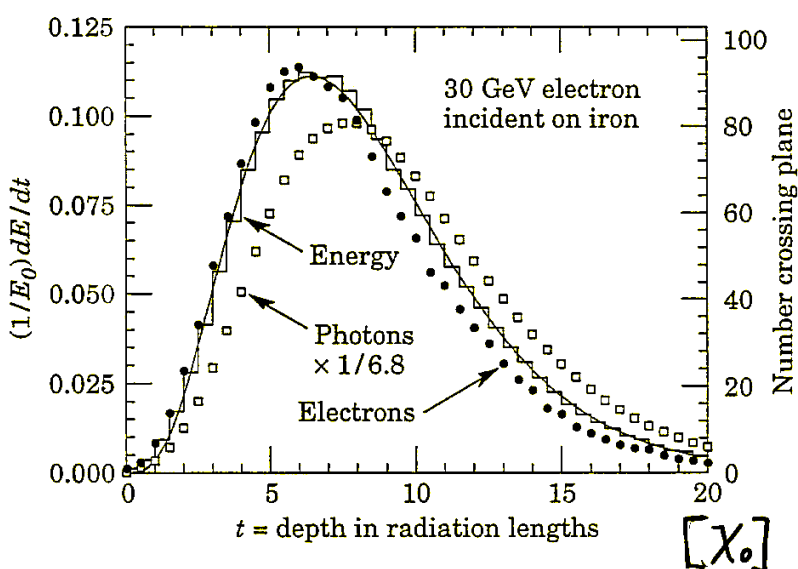
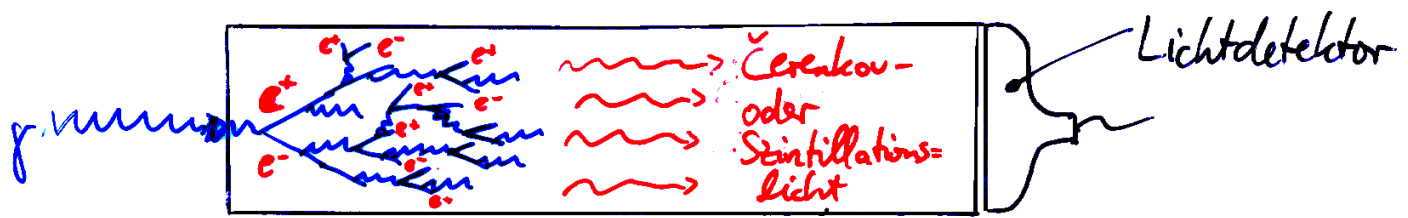
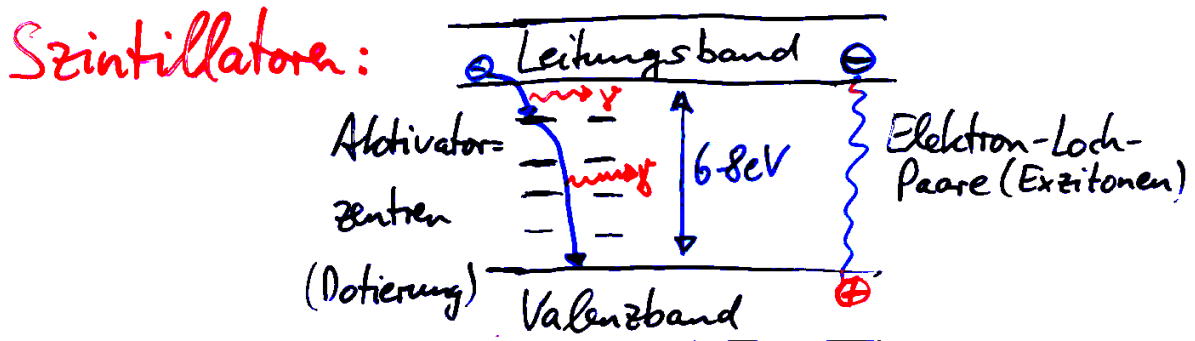


Figure 23.13: An EGS4 simulation of a 30 GeV electron-induced cascade in iron. The histogram shows fractional energy deposition per radiation length, and the curve is a gamma-function fit to the distribution. Circles indicate the number of electrons with total energy greater than 1.5 MeV crossing planes at  $X_0/2$  intervals (scale on right) and the squares the number of photons with  $E \geq 1.5$  MeV crossing the planes (scaled down to have same area as the electron distribution).

# Kalorimetrische Detektoren

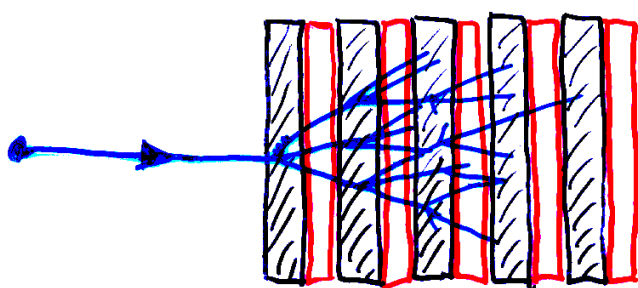


Kristall oder Glas  
mit kurzer Strahlungs=  
länge  $\lambda_0$ .

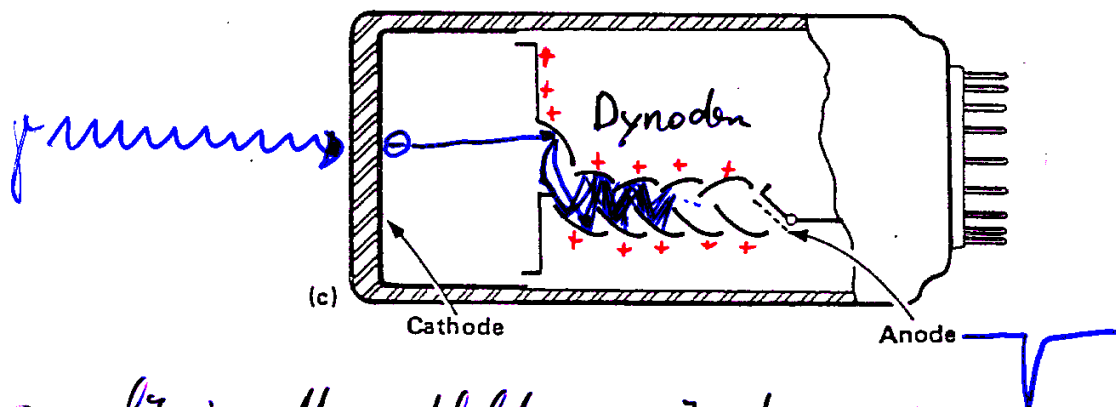


Ionisation erzeugt Elektronen im Leitungsband, die die Aktivatoren anregen; Anregungsenergie wird als Licht abgestrahlt

**Sampling-Kalorimeter (auch Sandwich):**

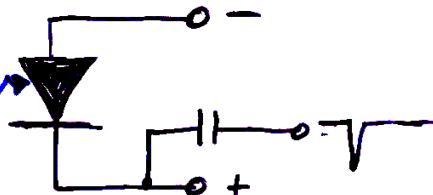


## Photomultiplier



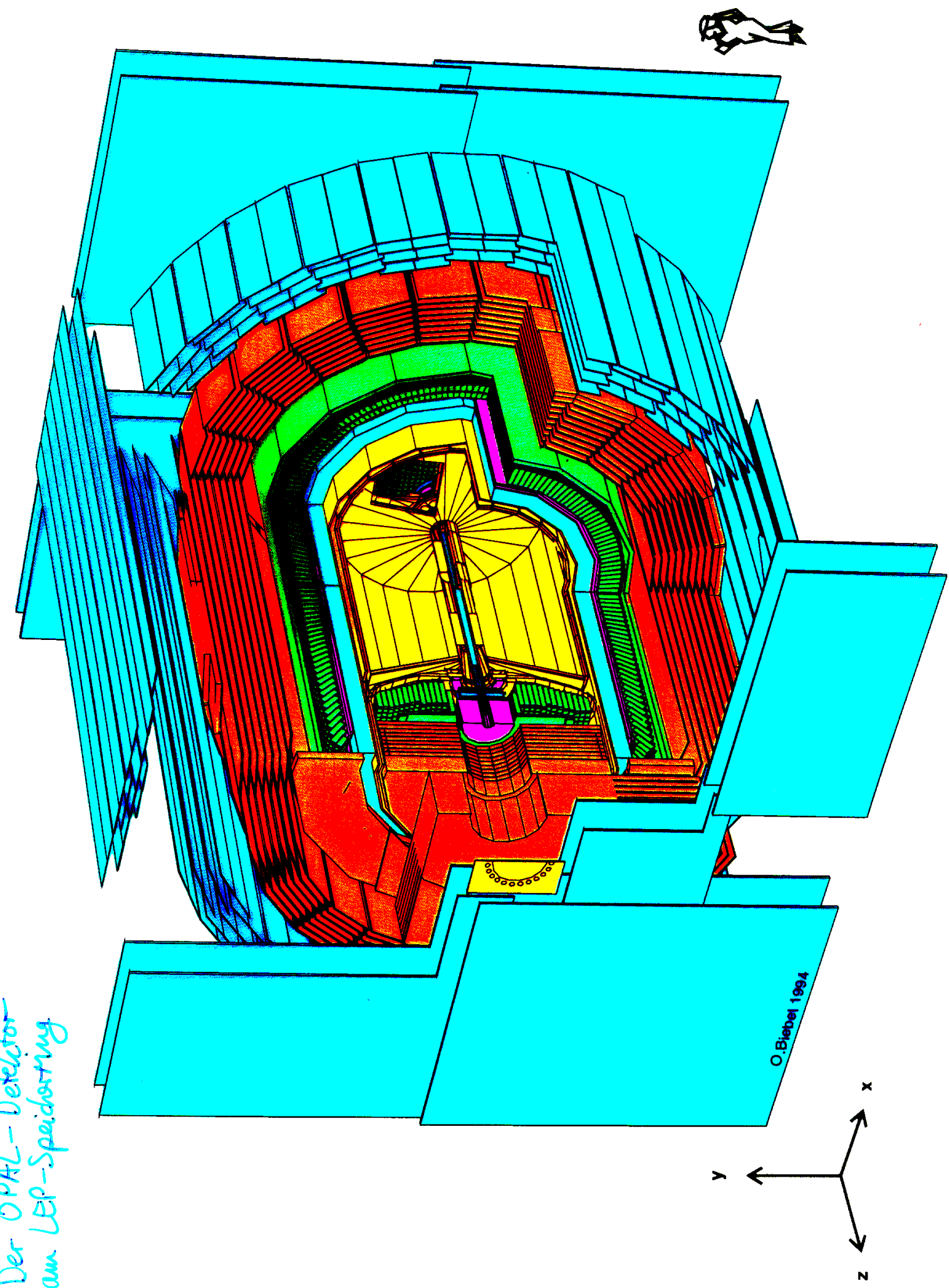
zuverlässig, Magnetfelder ungünstig, geringe Quantenausbeute,  
günstig, großflächig

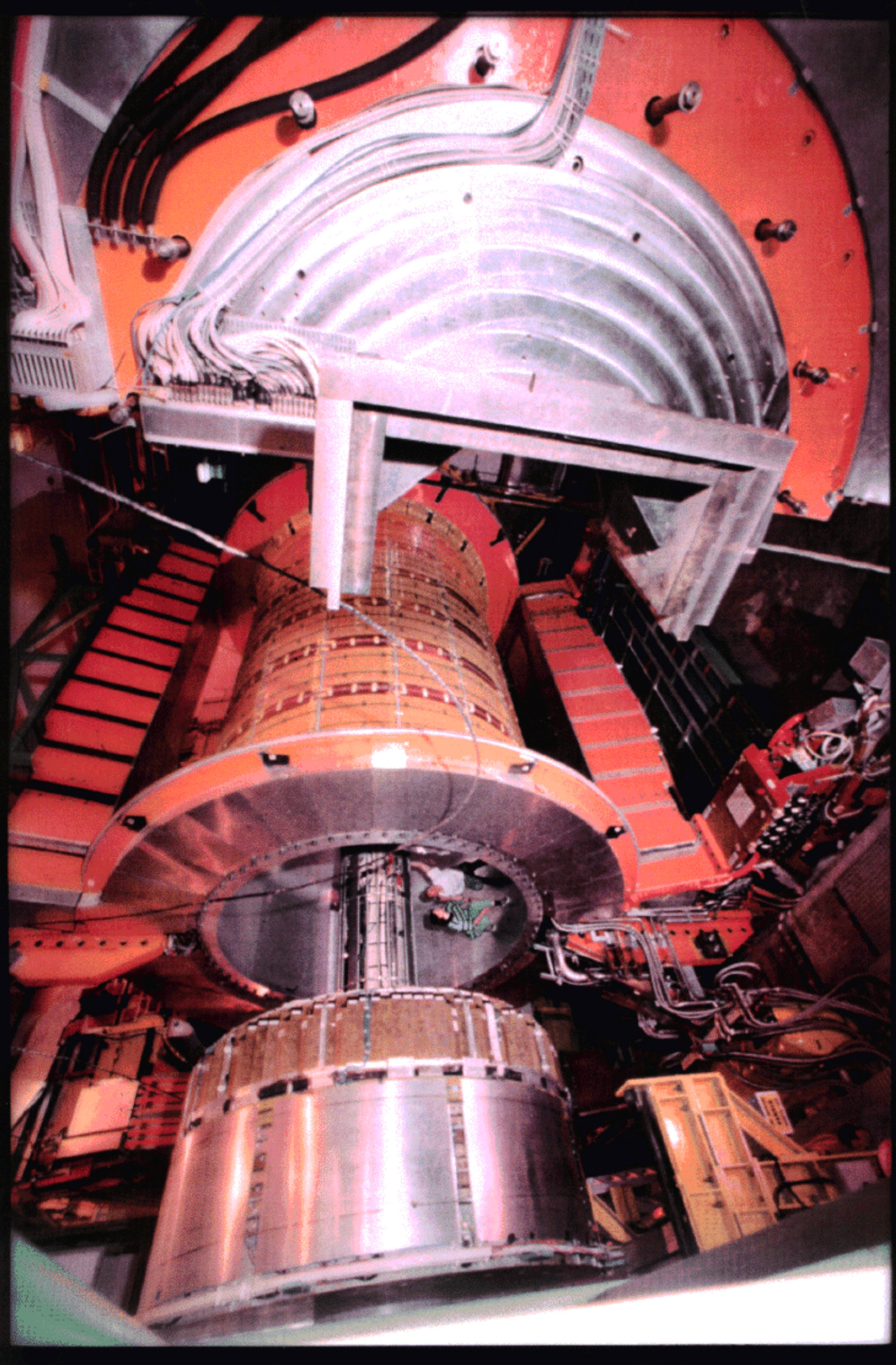
## Avalanche Photodioden:

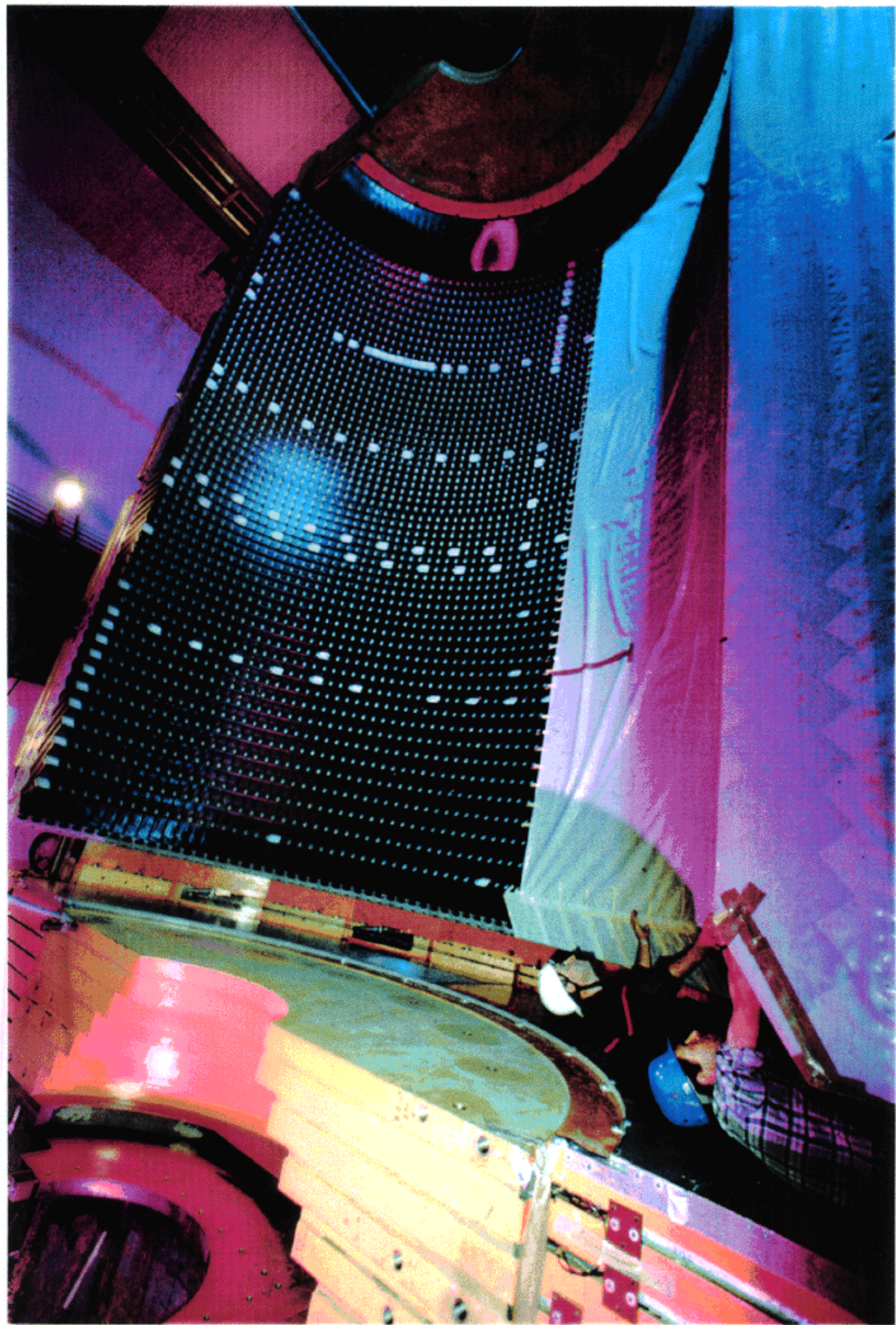


teuer, zuverlässig, Magnetfelder ohne Effekt; hohe  
Quantenausbeute, kleinflächig

Der OPAL-Detektor  
am LEP-Speicherring







# Der ALEPH Silizium-Detektor

